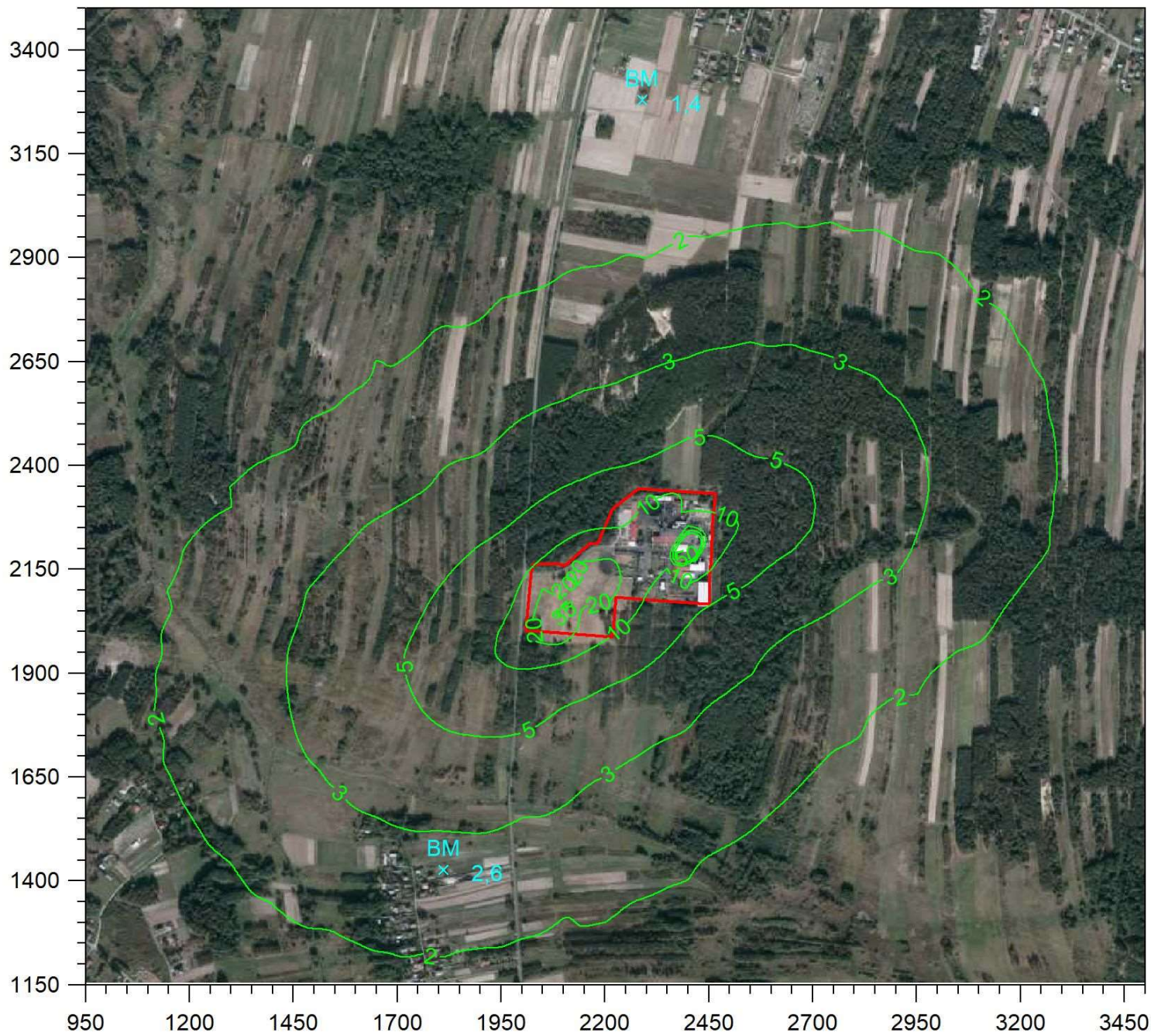


Izolinie stężeń maksymalnych węglowodorów alifatycznych $\mu\text{g}/\text{m}^3$

(dopuszcz. $3000 \mu\text{g}/\text{m}^3$)



Y



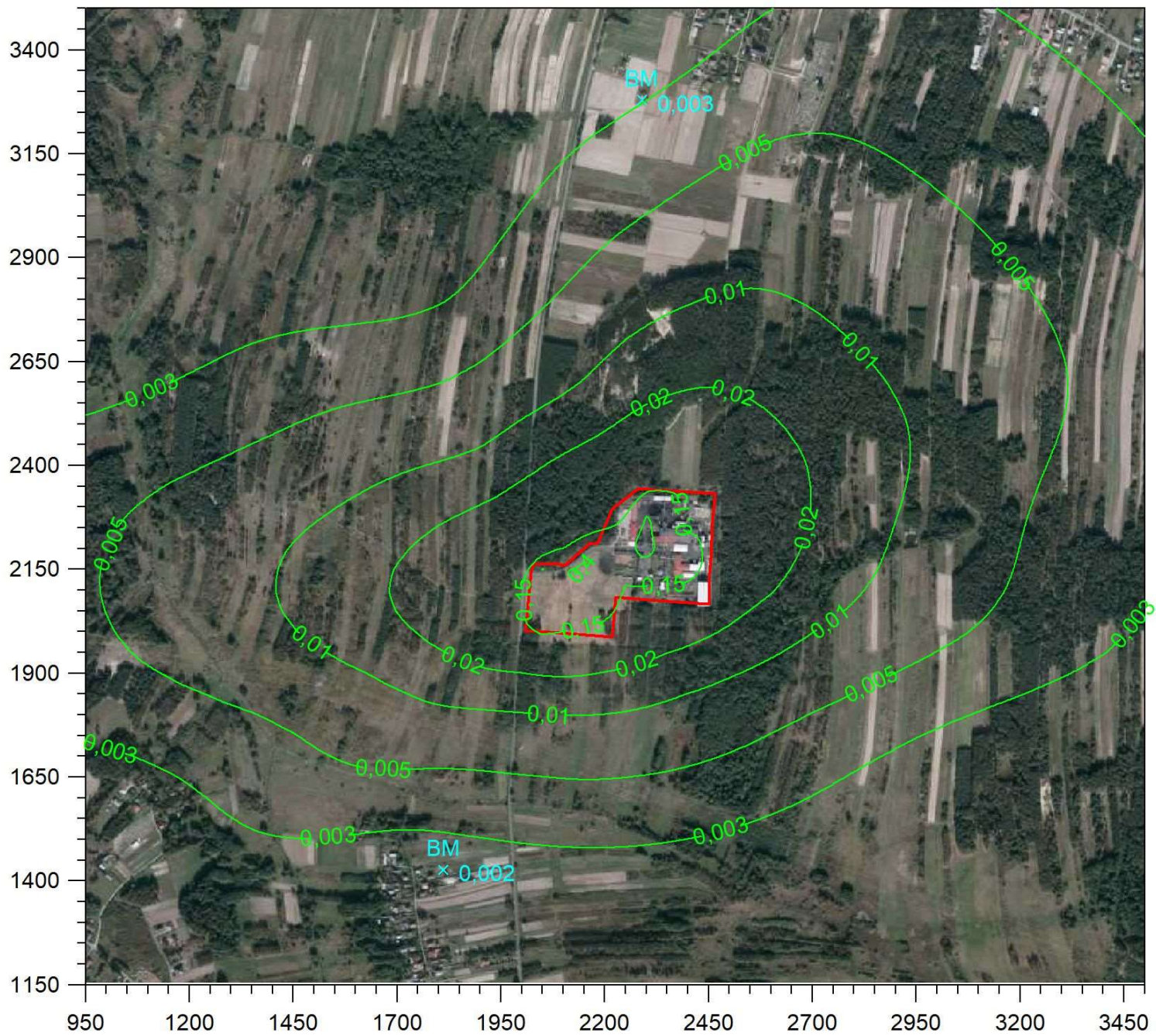
X

Izolinie stężeń średnich węglowodorów alifatycznych $\mu\text{g}/\text{m}^3$

(dyspoz. $900 \mu\text{g}/\text{m}^3$)



Y

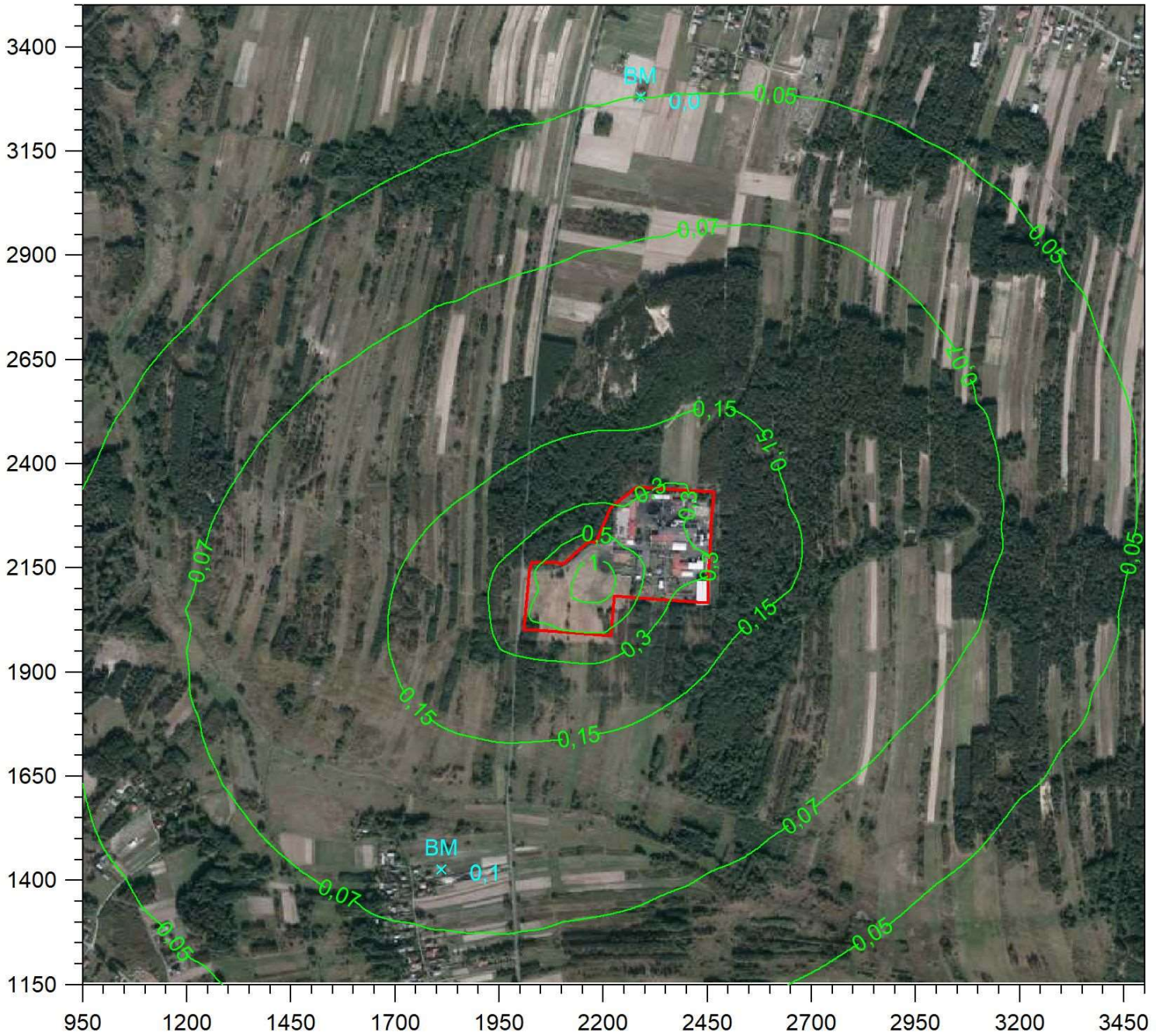


Izolinie stężeń maksymalnych amoniaku $\mu\text{g}/\text{m}^3$

(dopuszcz. $400 \mu\text{g}/\text{m}^3$)



Y

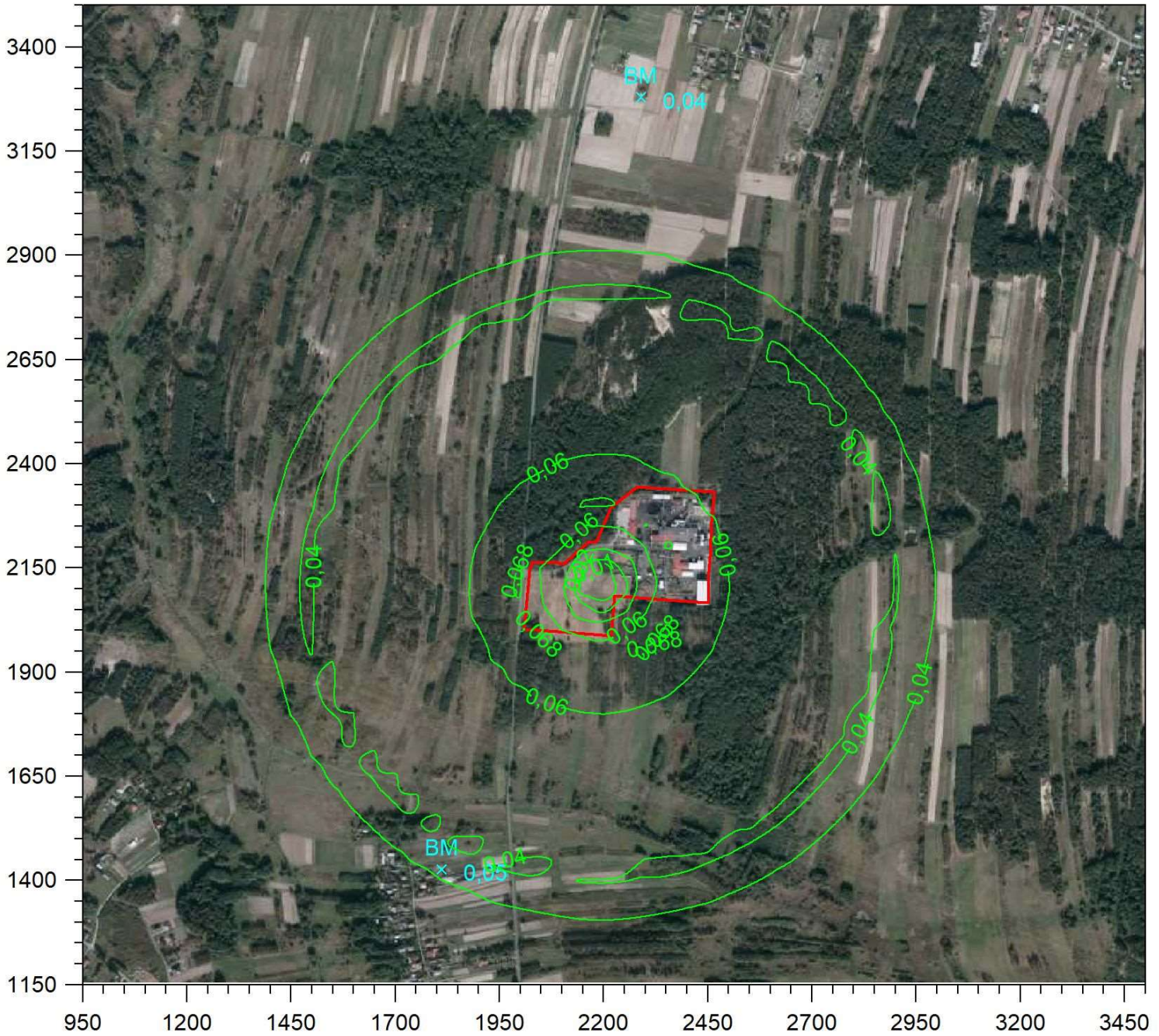


Izolinie stężeń maksymalnych antymonu i jego związku $\mu\text{g}/\text{m}^3$

(dopuszcz. $23 \mu\text{g}/\text{m}^3$)



Y



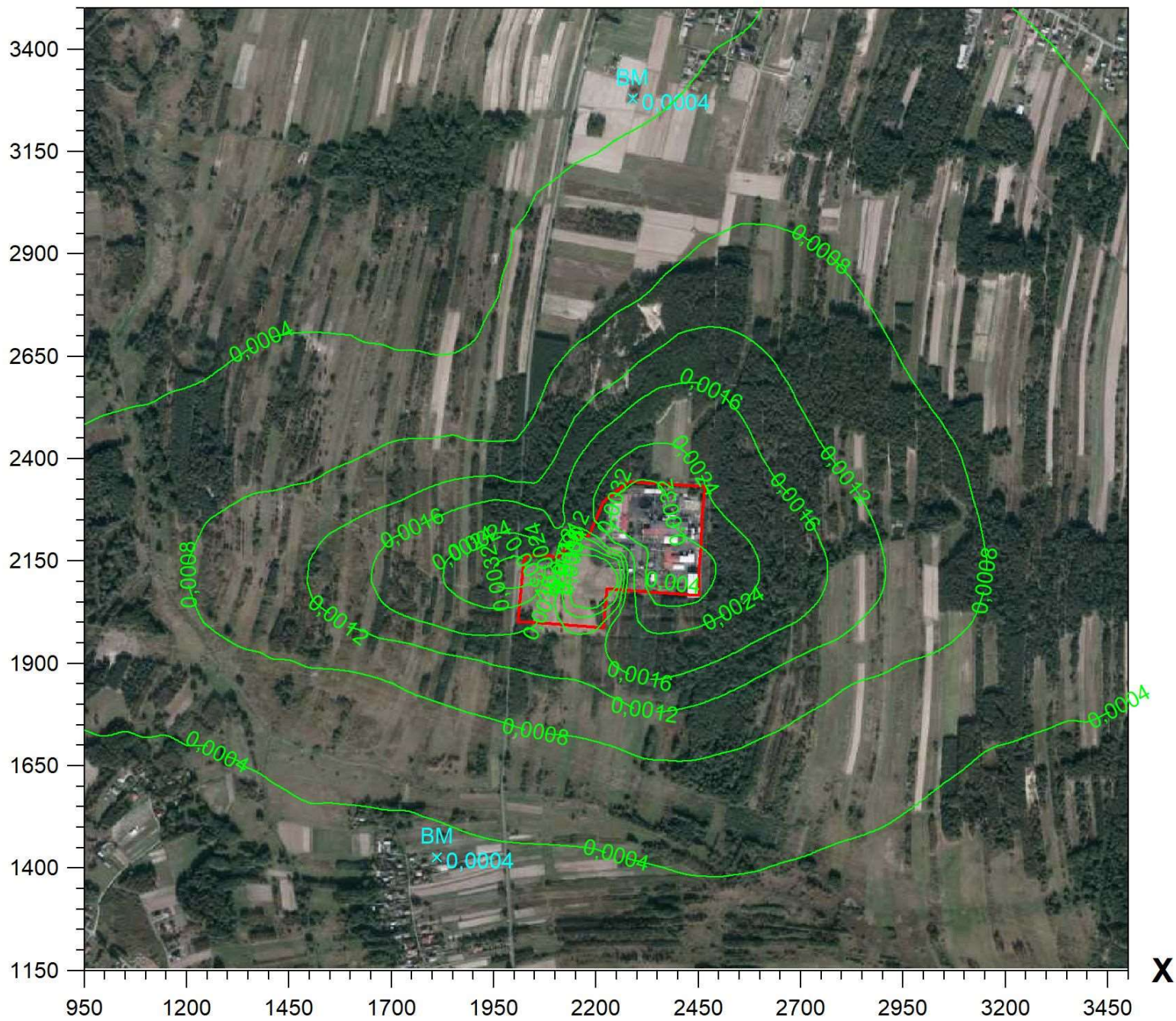
X

Izolinie stężeń średnich antymonu i jego związki $\mu\text{g}/\text{m}^3$

(dyspoz. $1,8 \mu\text{g}/\text{m}^3$)



Y



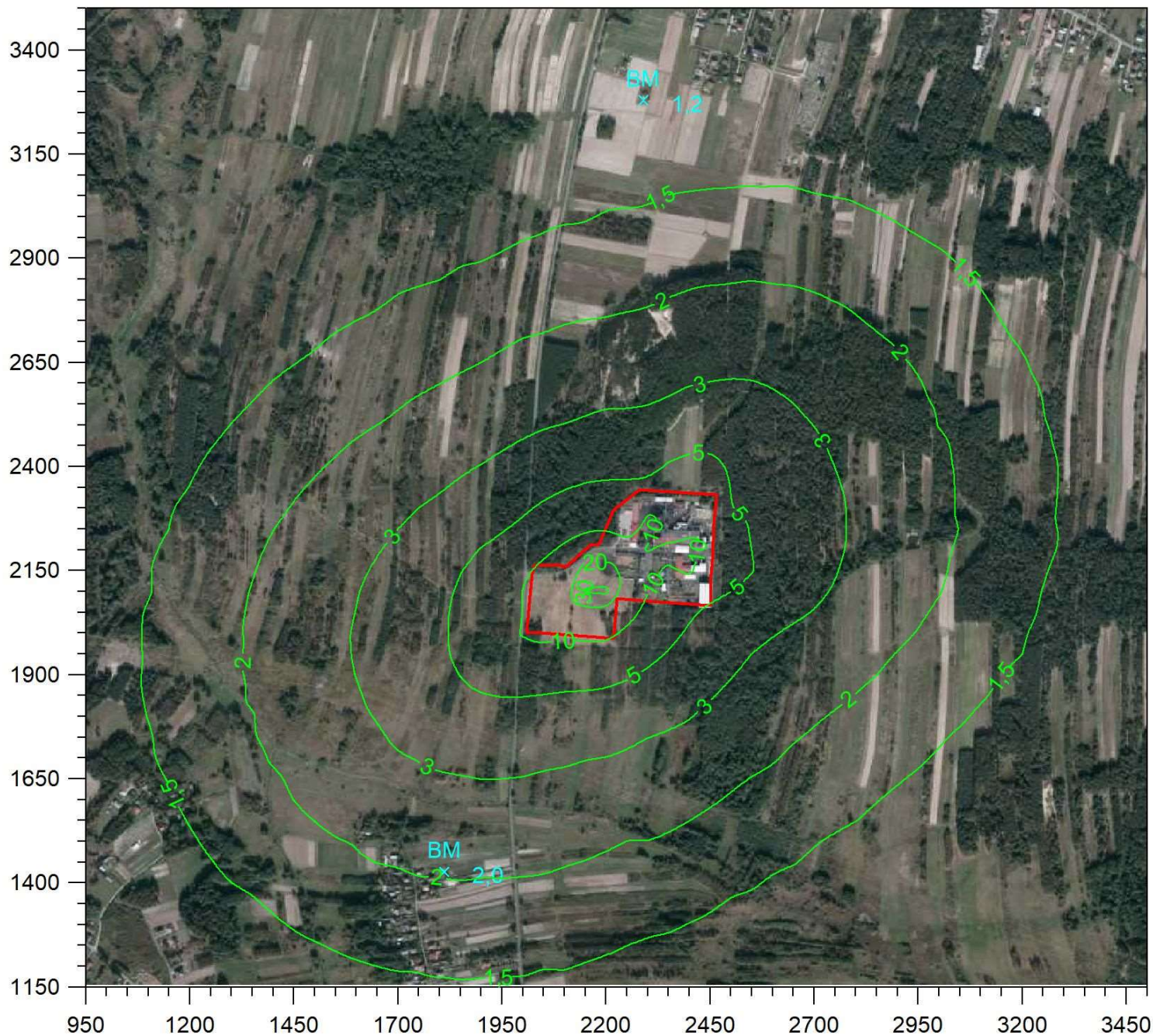
X

Izolinie stężeń maksymalnych węglowodorów aromatycznych $\mu\text{g}/\text{m}^3$

(dopuszcz. $1000 \mu\text{g}/\text{m}^3$)



Y



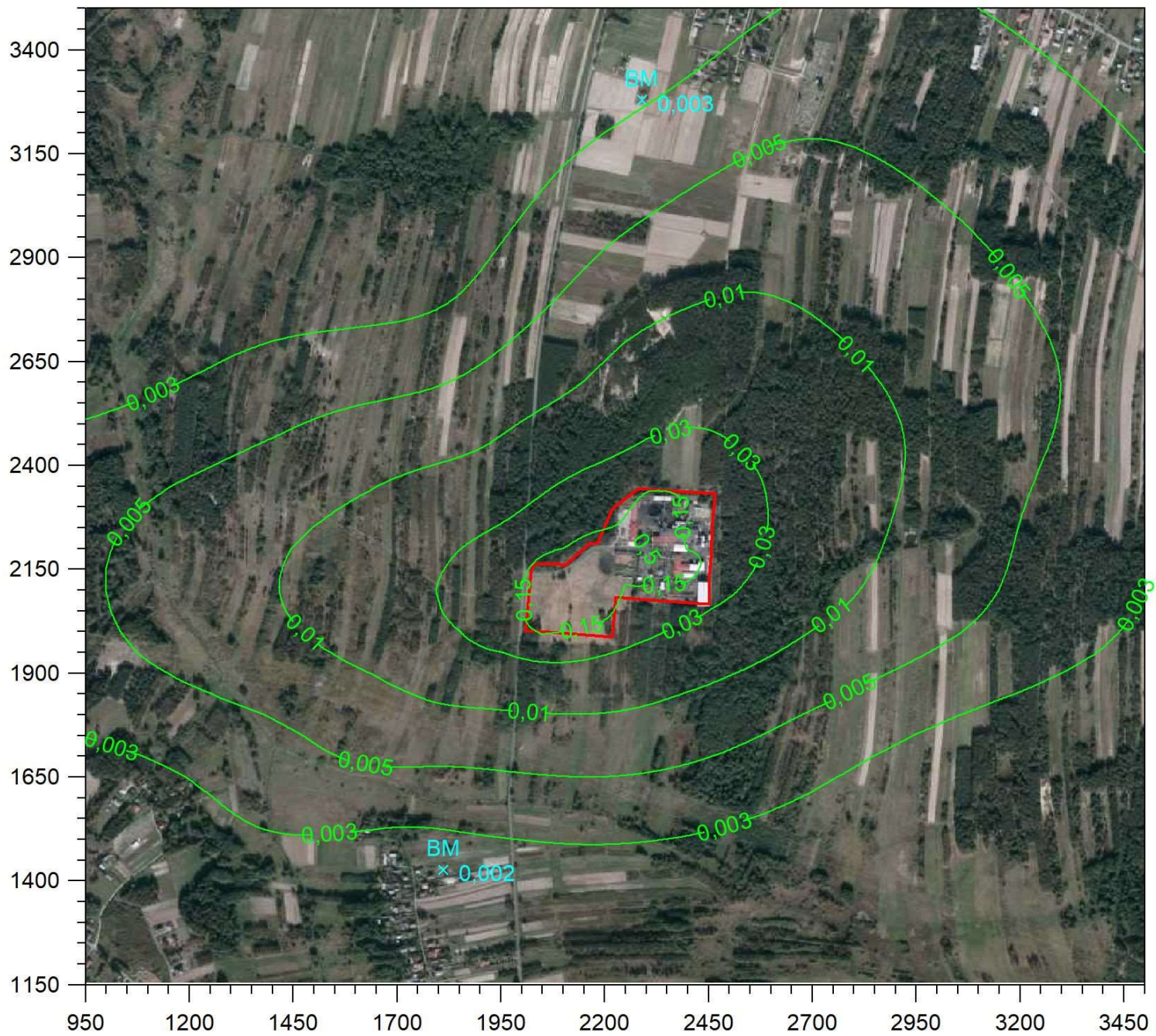
X

Izolinie stężeń średnich węglowodorów aromatycznych $\mu\text{g}/\text{m}^3$

(dyspoz. $38,7 \mu\text{g}/\text{m}^3$)



Y



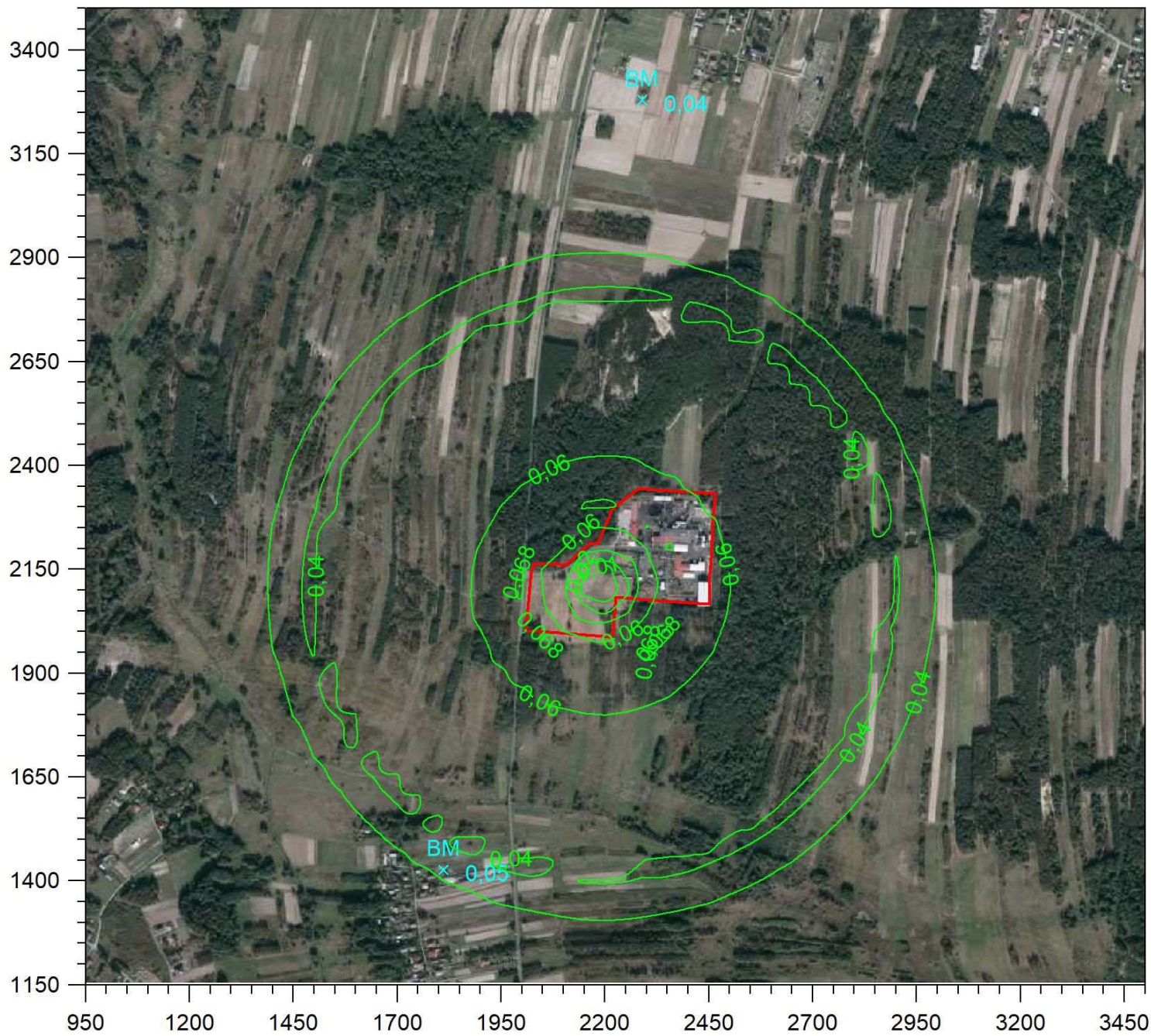
X

Izolinie stężeń maksymalnych arsenu $\mu\text{g}/\text{m}^3$

(dopuszcz. $0,2 \mu\text{g}/\text{m}^3$)



Y



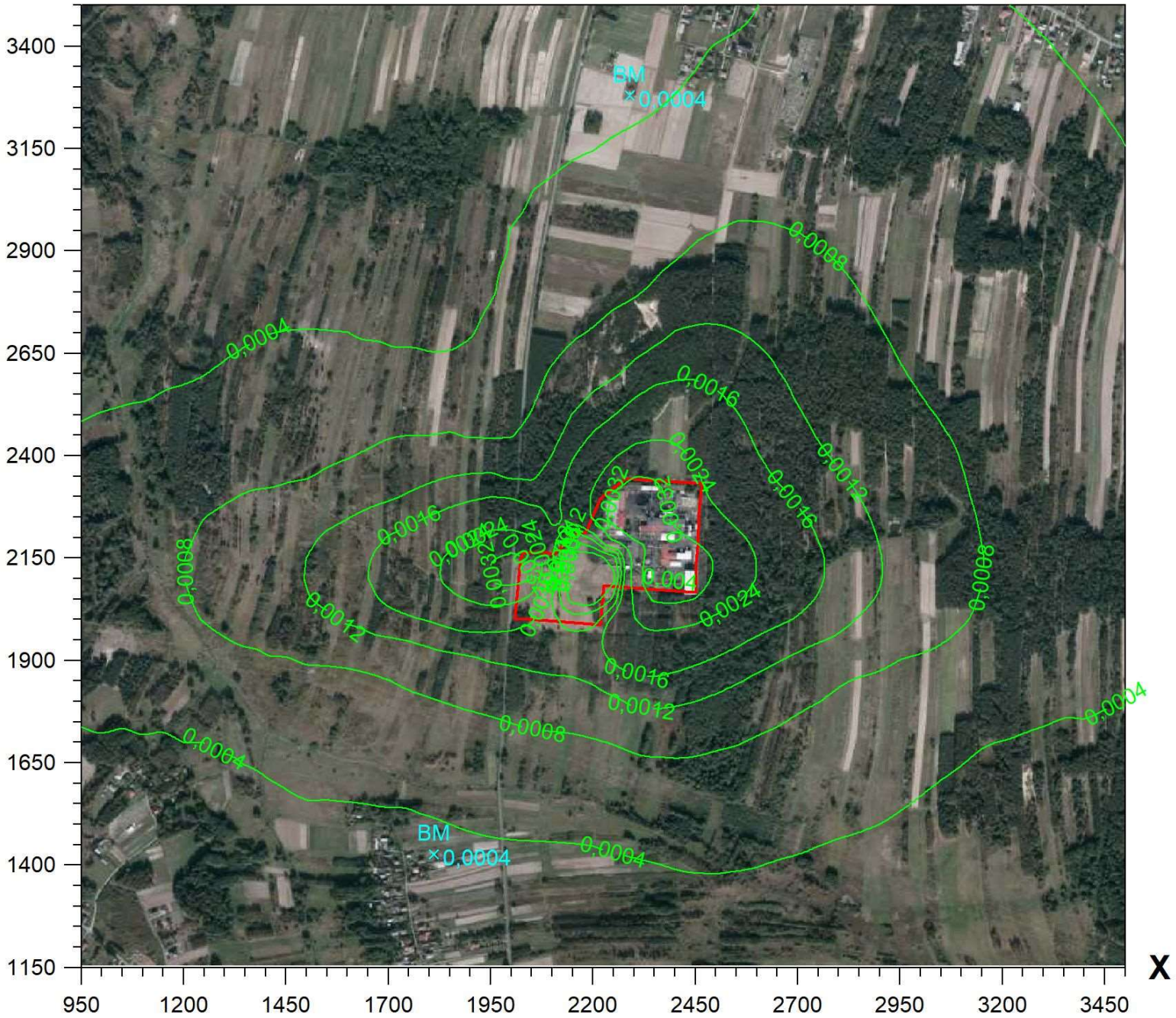
X

Izolinie stężeń średnich arsenu $\mu\text{g}/\text{m}^3$

(dyspoz. $0,0054 \mu\text{g}/\text{m}^3$)



Y

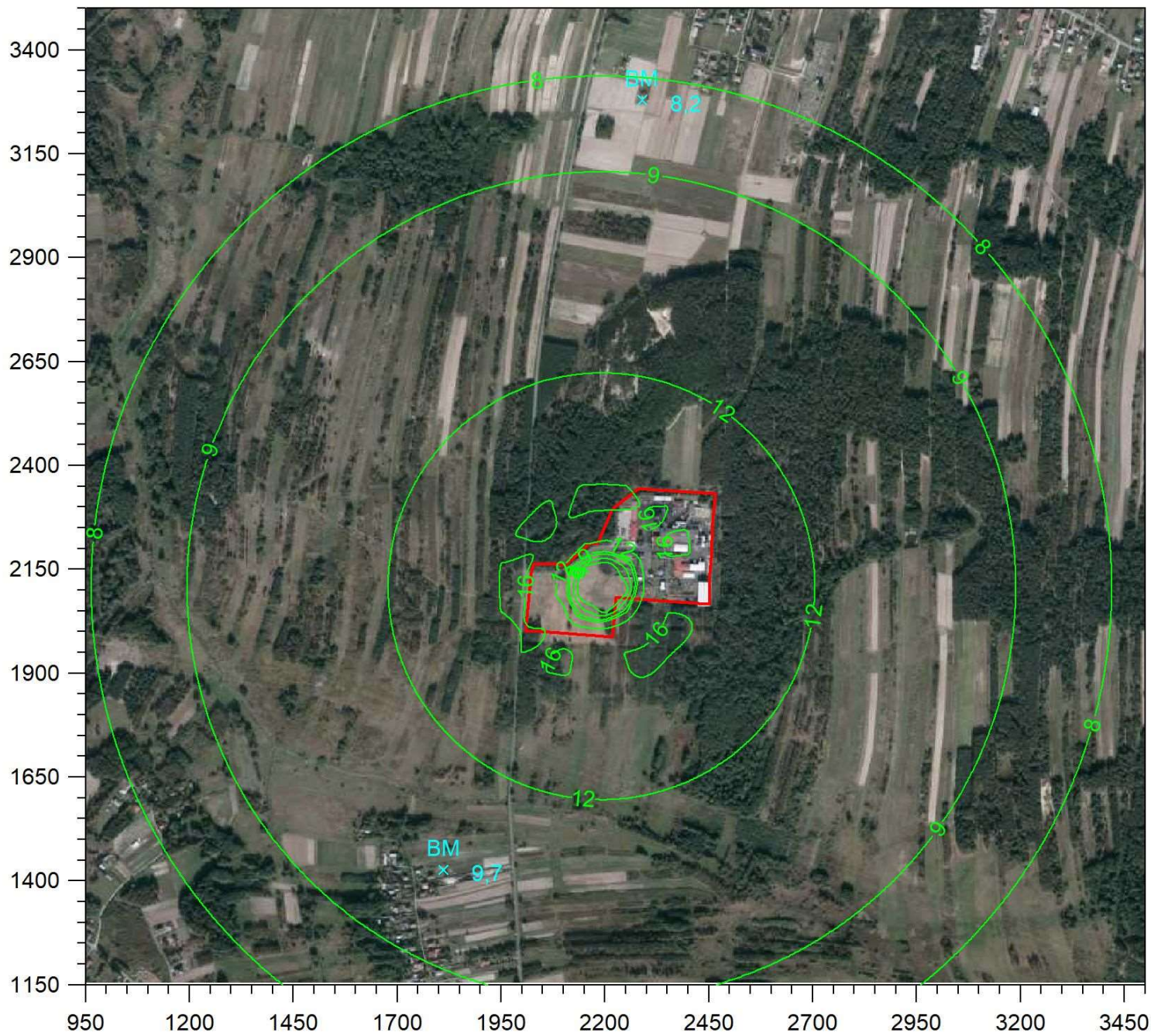


Izolinie stężeń maksymalnych chlorowodoru $\mu\text{g}/\text{m}^3$

(dopuszcz. $200 \mu\text{g}/\text{m}^3$)



Y

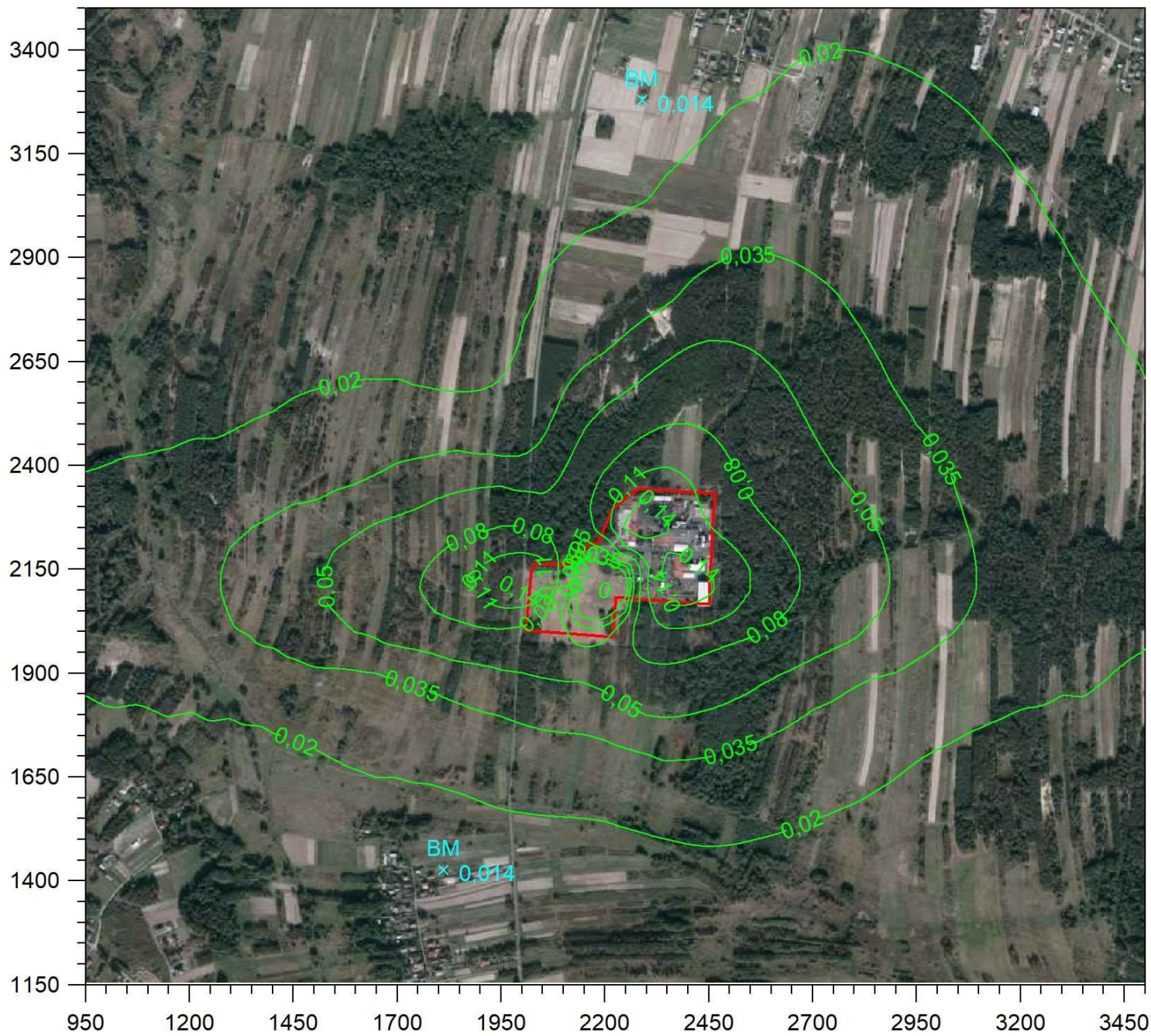


Izolinie stężeń średnich chlorowodoru $\mu\text{g}/\text{m}^3$

(dyspoz. $22,5 \mu\text{g}/\text{m}^3$)



Y



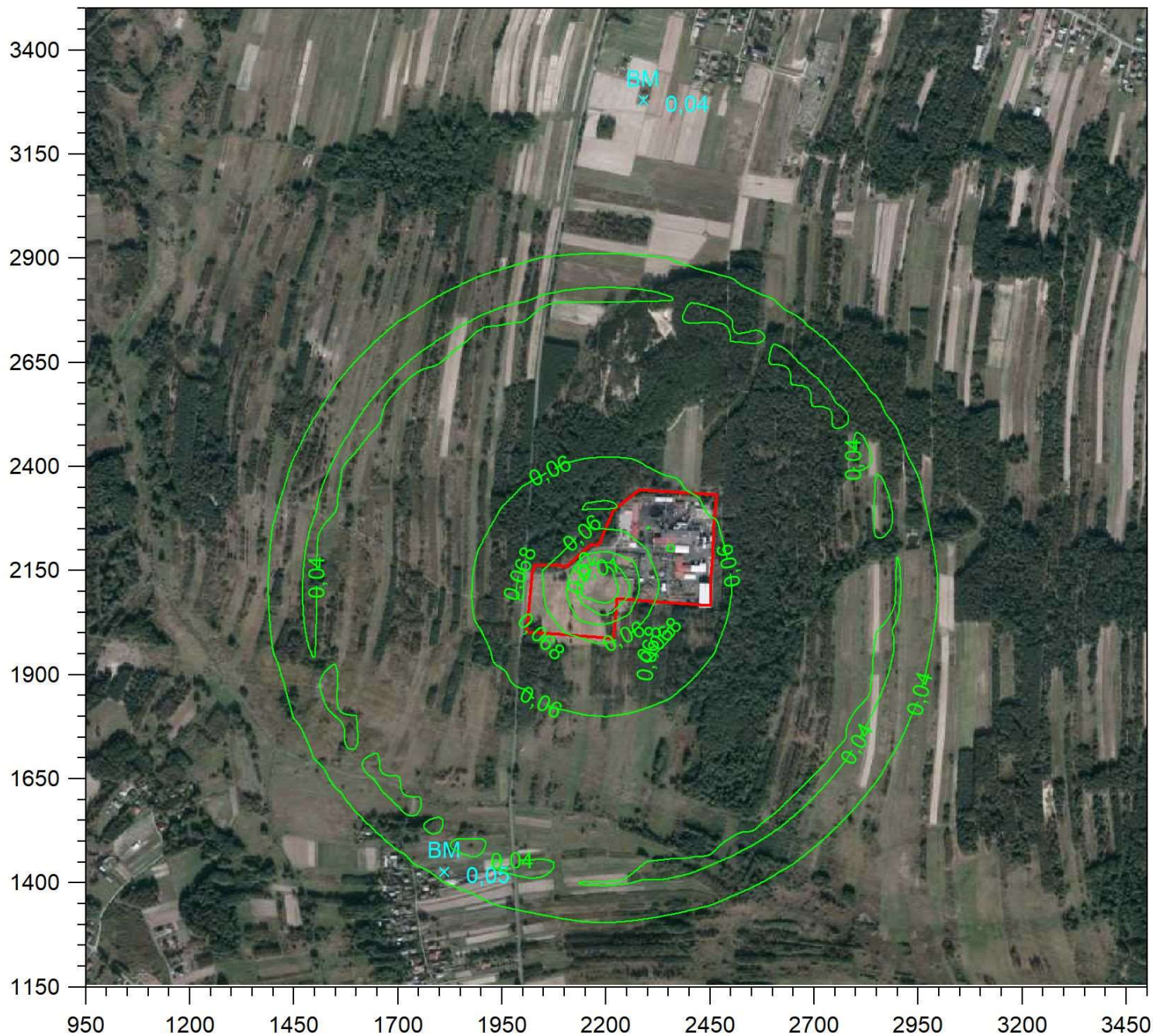
X

Izolinie stężeń maksymalnych chromu $\mu\text{g}/\text{m}^3$

(dopuszcz. $4,6 \mu\text{g}/\text{m}^3$)



Y



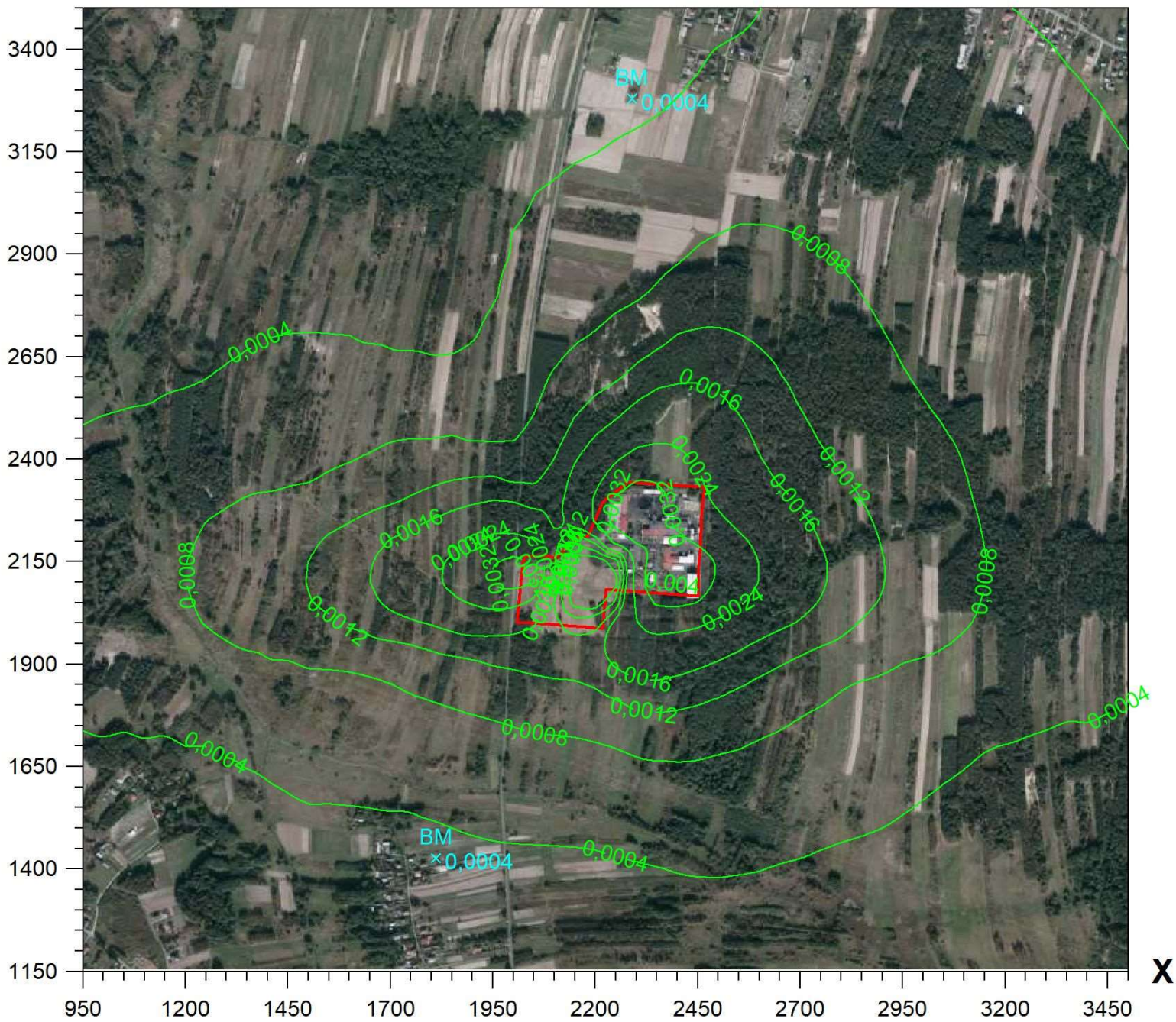
X

Izolinie stężeń średnich chromu $\mu\text{g}/\text{m}^3$

(dyspoz. $0,36 \mu\text{g}/\text{m}^3$)



Y



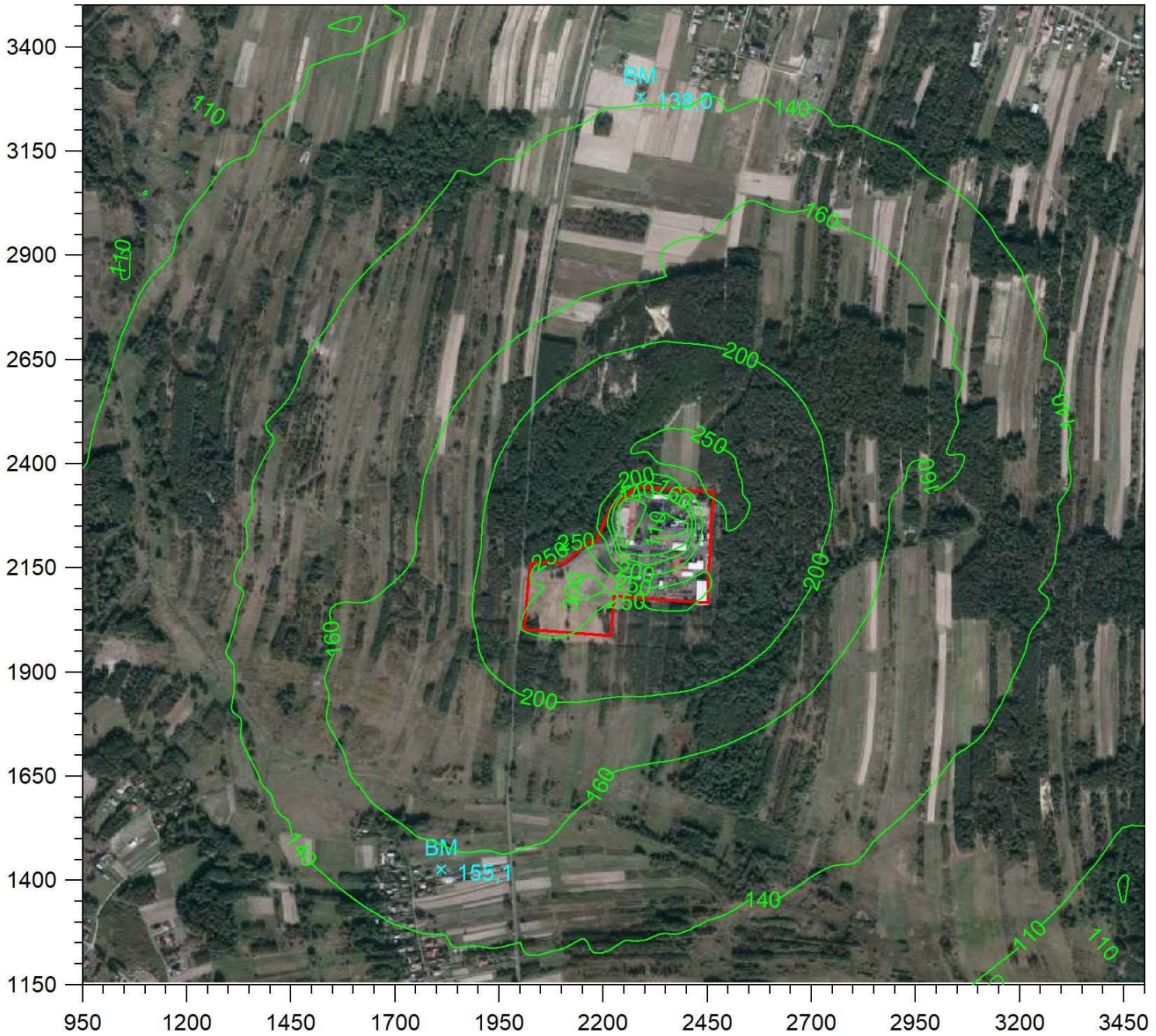
X

Izolinie stężeń maksymalnych tlenku węgla $\mu\text{g}/\text{m}^3$

(dopuszcz. $30000 \mu\text{g}/\text{m}^3$)



Y

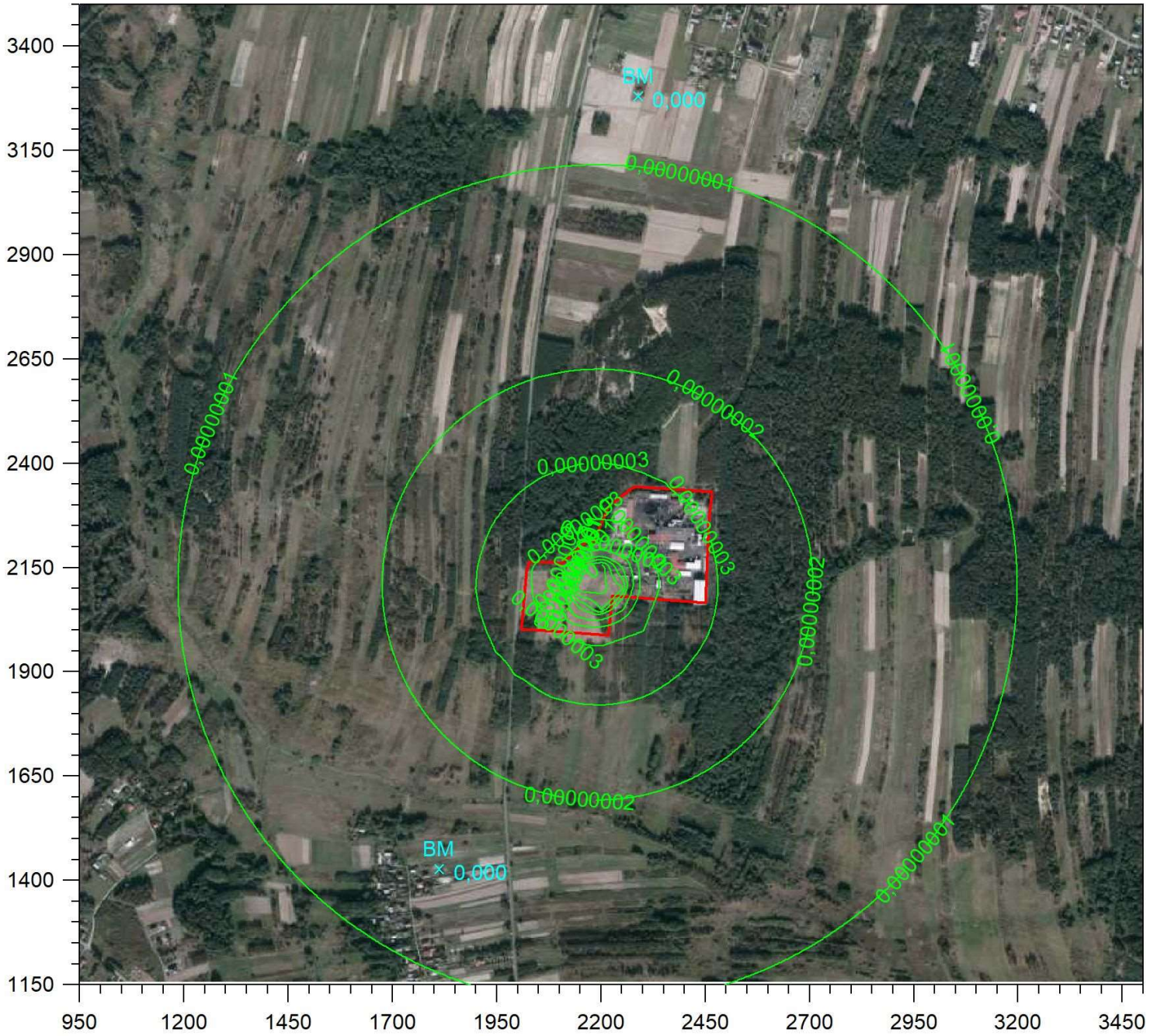


X



Izolinie stężeń maksymalnych dioksyn i furanów $\mu\text{g}/\text{m}^3$

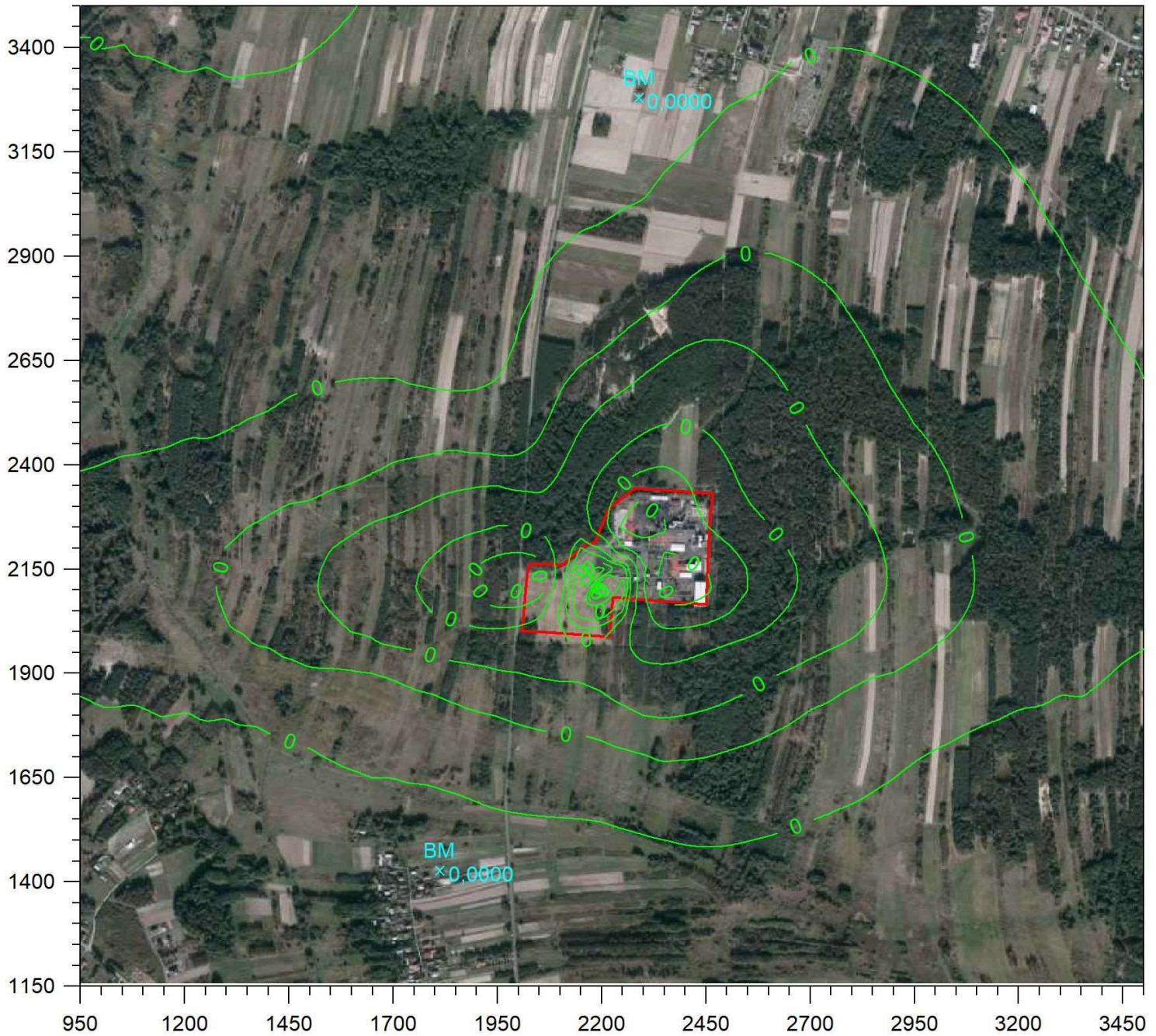
Y





Izolinie stężeń średnich dioksyn i furanów $\mu\text{g}/\text{m}^3$

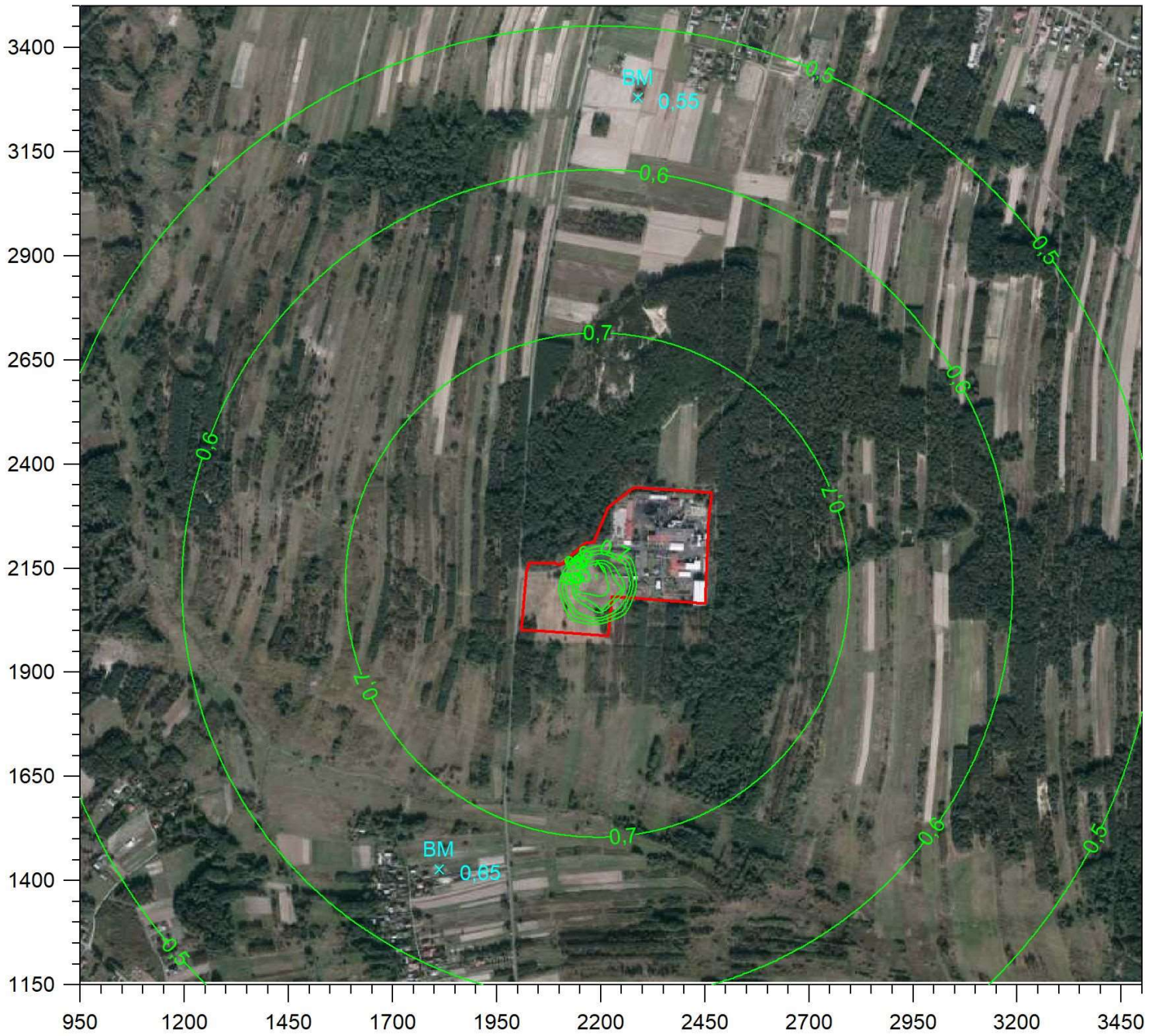
Y





Izolinie stężeń maksymalnych fluorowodoru $\mu\text{g}/\text{m}^3$

Y

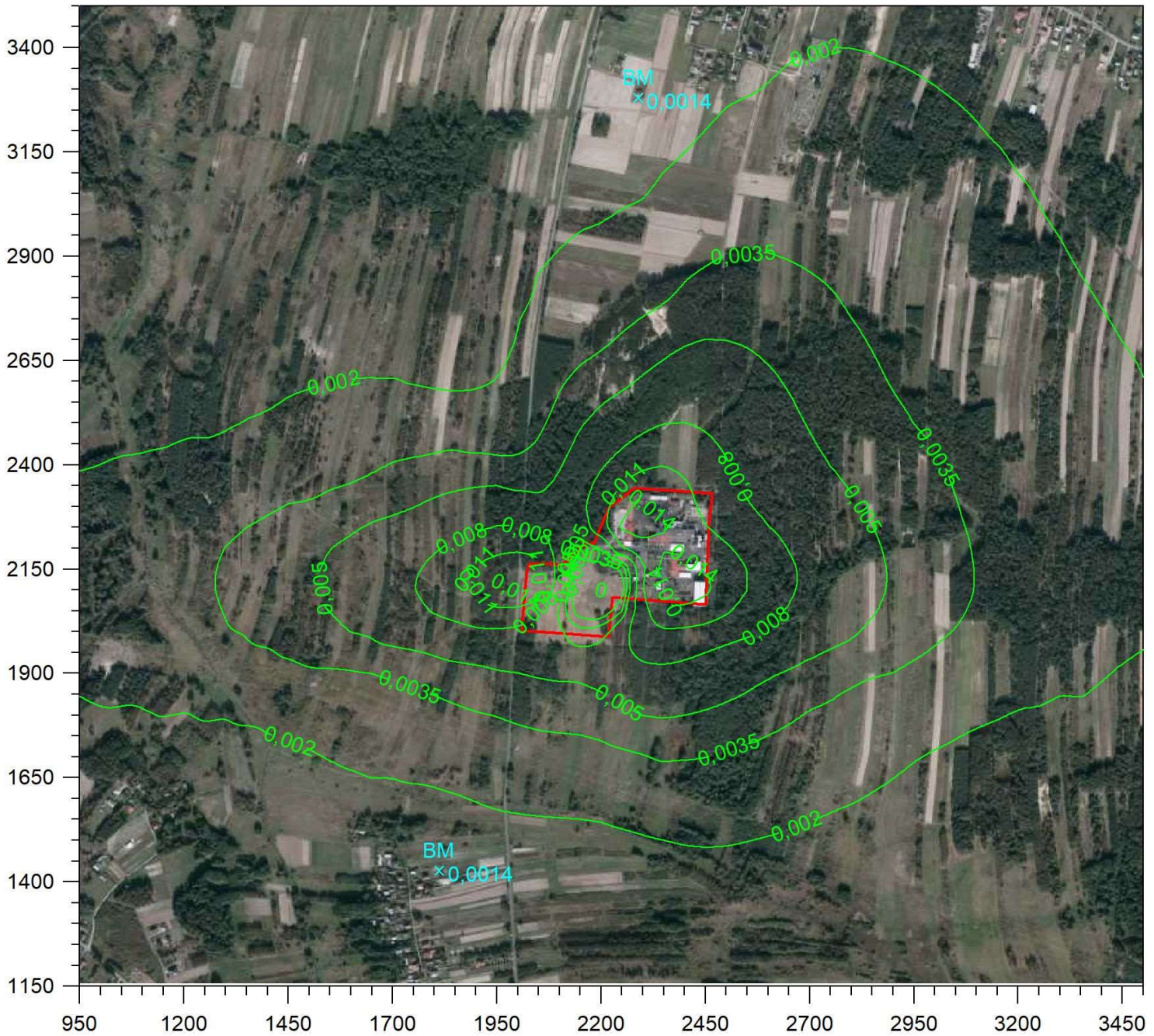


X



Izolinie stężeń średnich fluorowodoru $\mu\text{g}/\text{m}^3$

Y



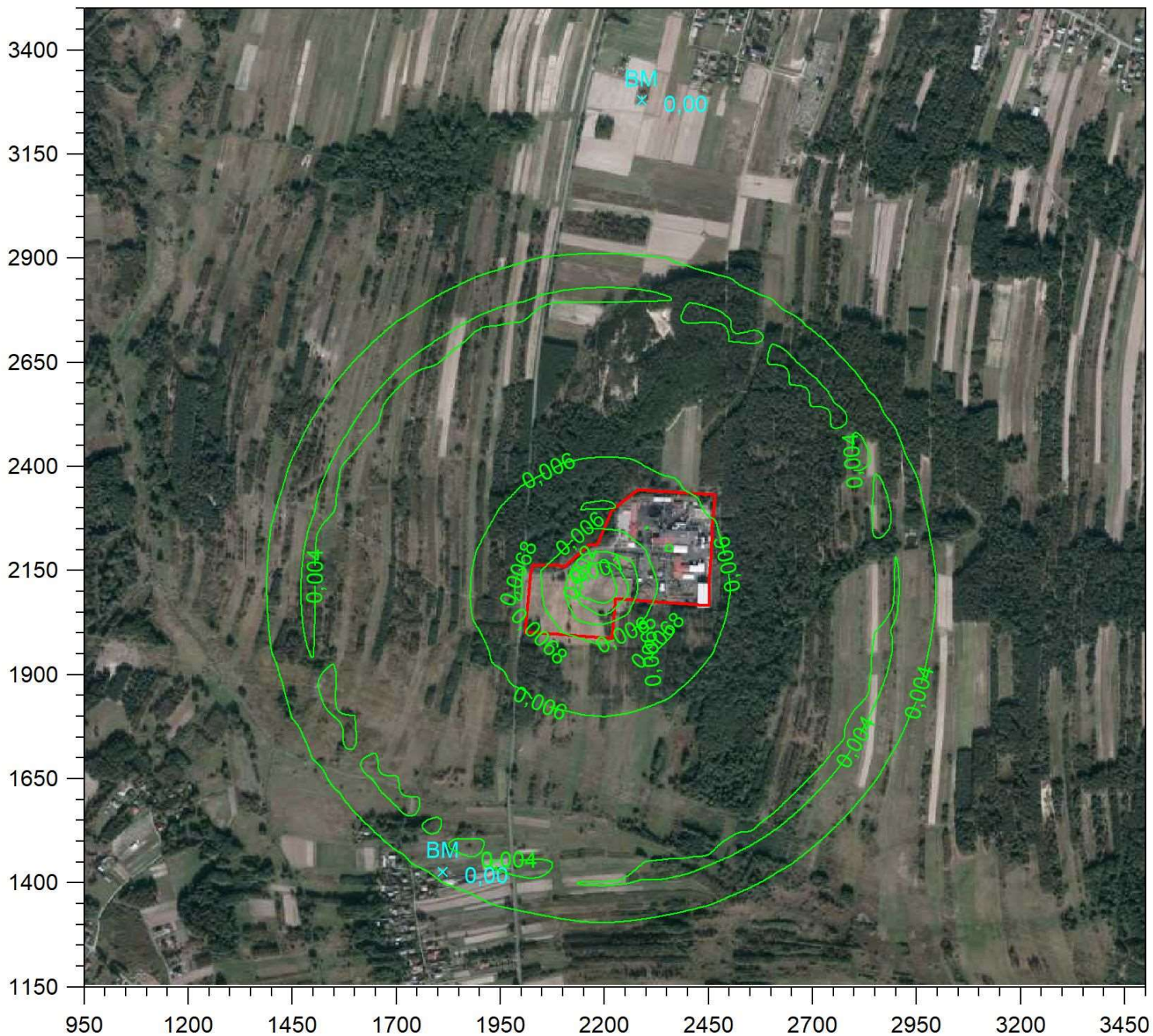
X

Izolinie stężeń maksymalnych kadmu $\mu\text{g}/\text{m}^3$

(dopuszcz. $0,52 \mu\text{g}/\text{m}^3$)



Y

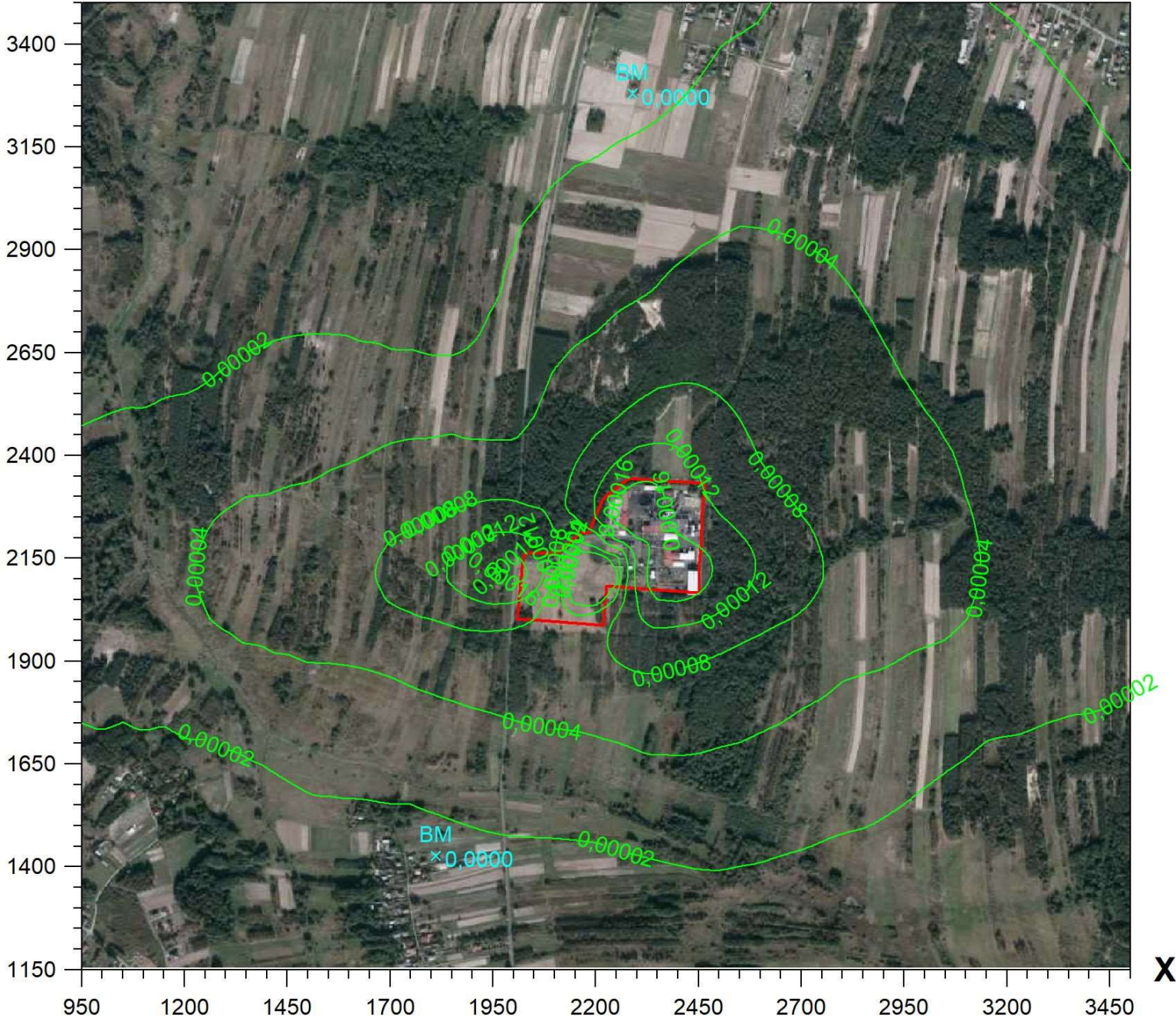


Izolinie stężeń średnich kadmu $\mu\text{g}/\text{m}^3$

(dyspoz. $0,0045 \mu\text{g}/\text{m}^3$)



Y



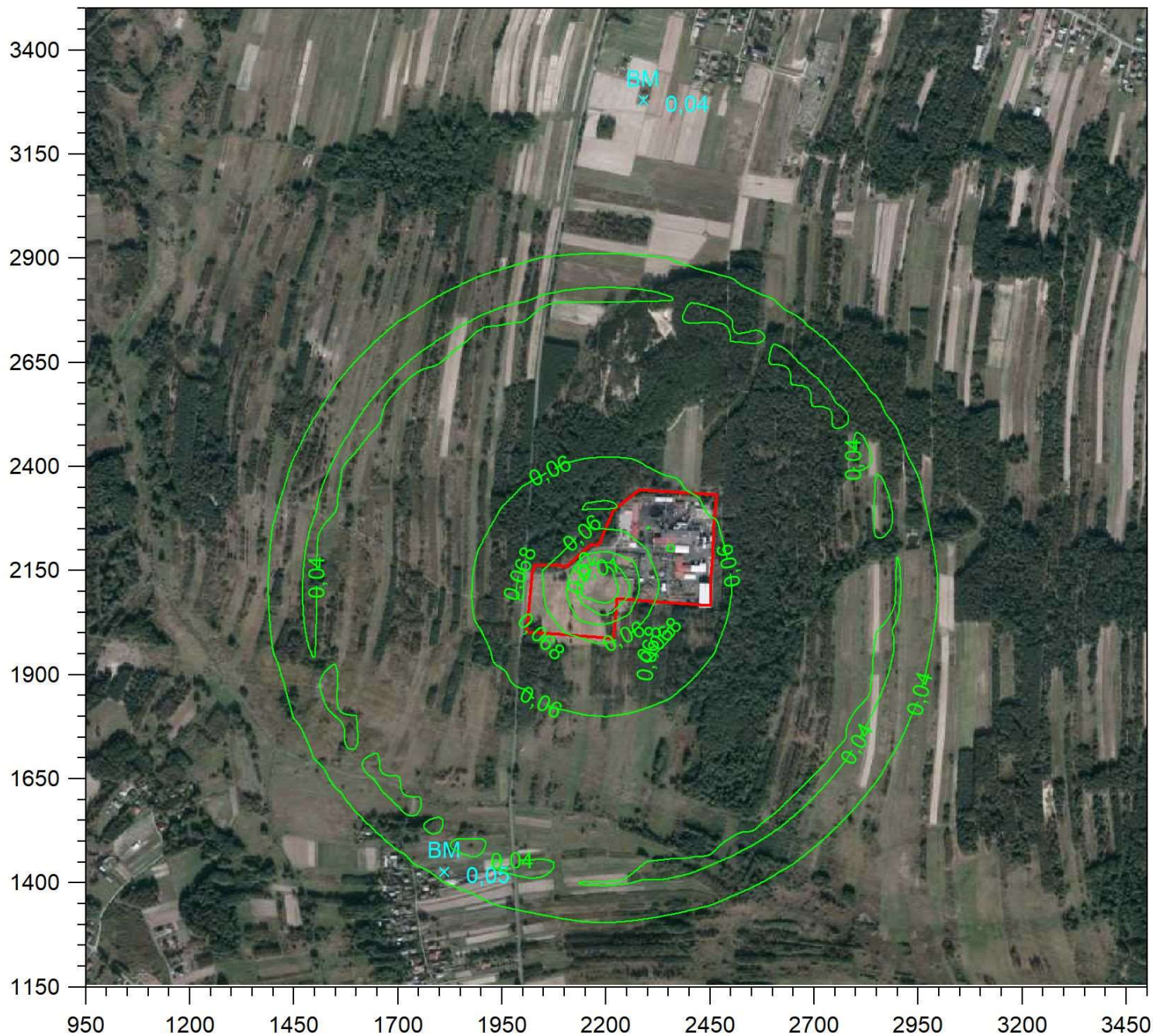
X

Izolinie stężeń maksymalnych kobaltu $\mu\text{g}/\text{m}^3$

(dopuszcz. $5 \mu\text{g}/\text{m}^3$)



Y



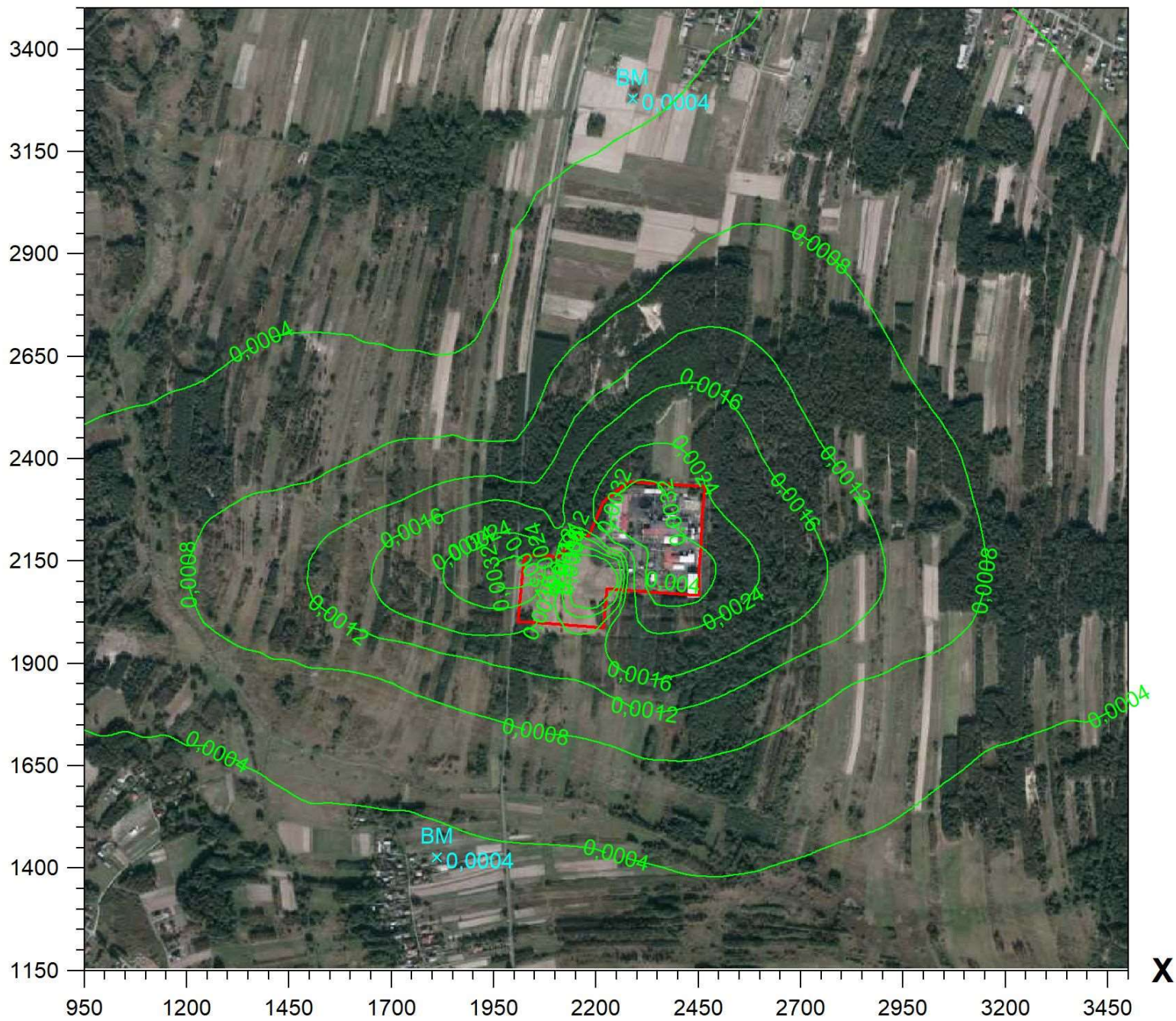
X

Izolinie stężeń średnich kobaltu $\mu\text{g}/\text{m}^3$

(dyspoz. $0,36 \mu\text{g}/\text{m}^3$)



Y



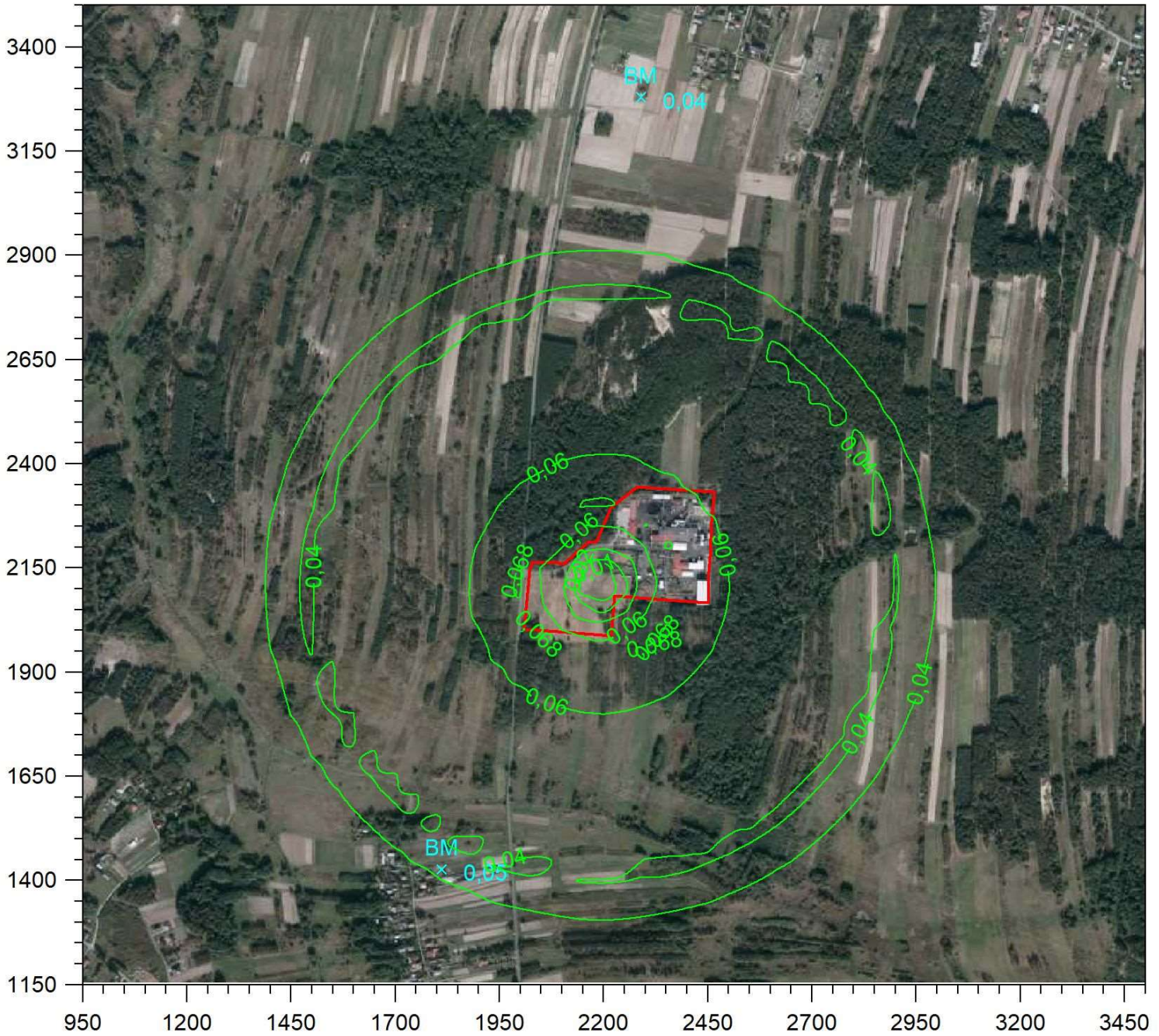
X

Izolinie stężeń maksymalnych manganu $\mu\text{g}/\text{m}^3$

(dopuszcz. $9 \mu\text{g}/\text{m}^3$)



Y



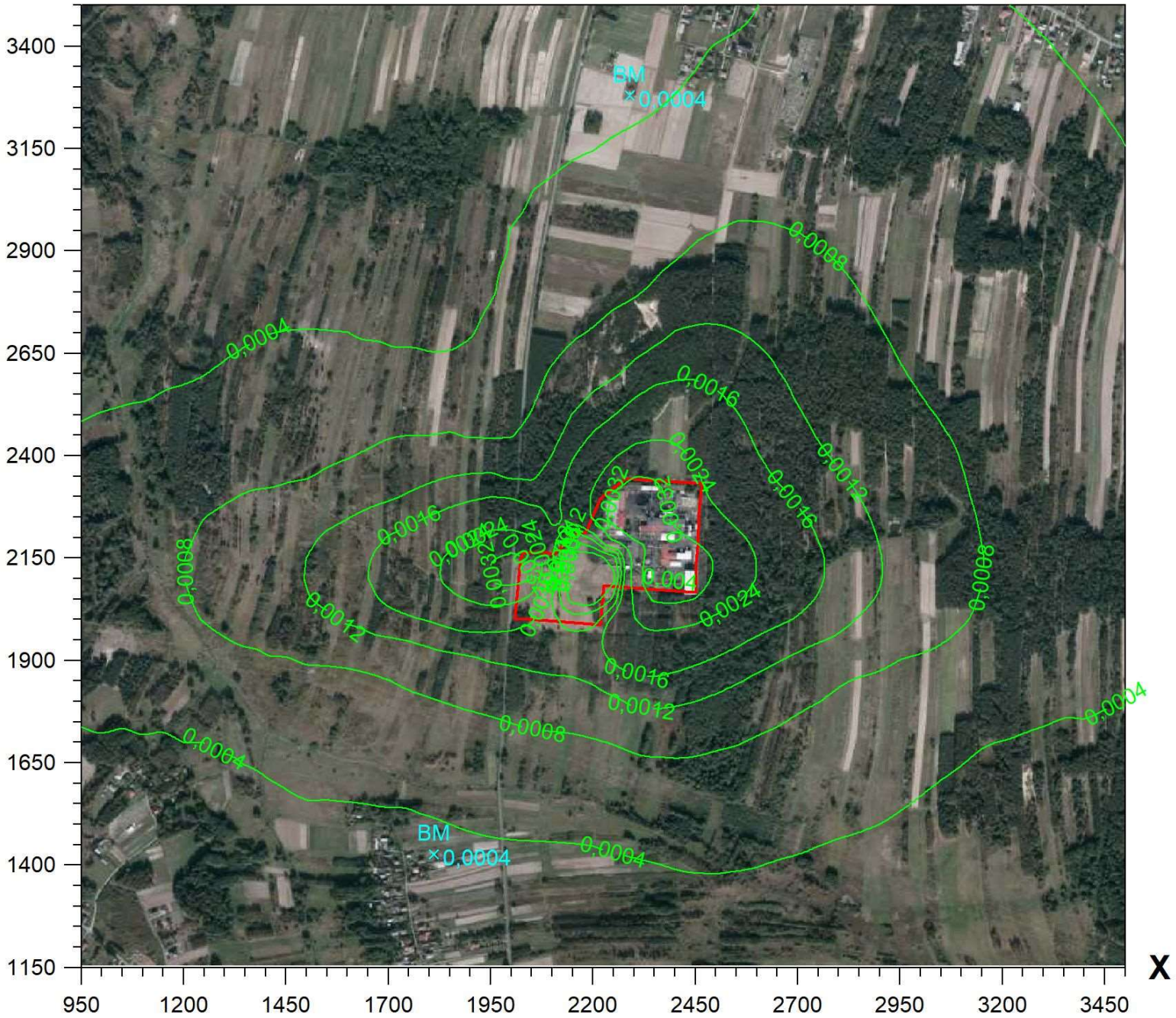
X

Izolinie stężeń średnich manganu $\mu\text{g}/\text{m}^3$

(dyspoz. $0,9 \mu\text{g}/\text{m}^3$)



Y



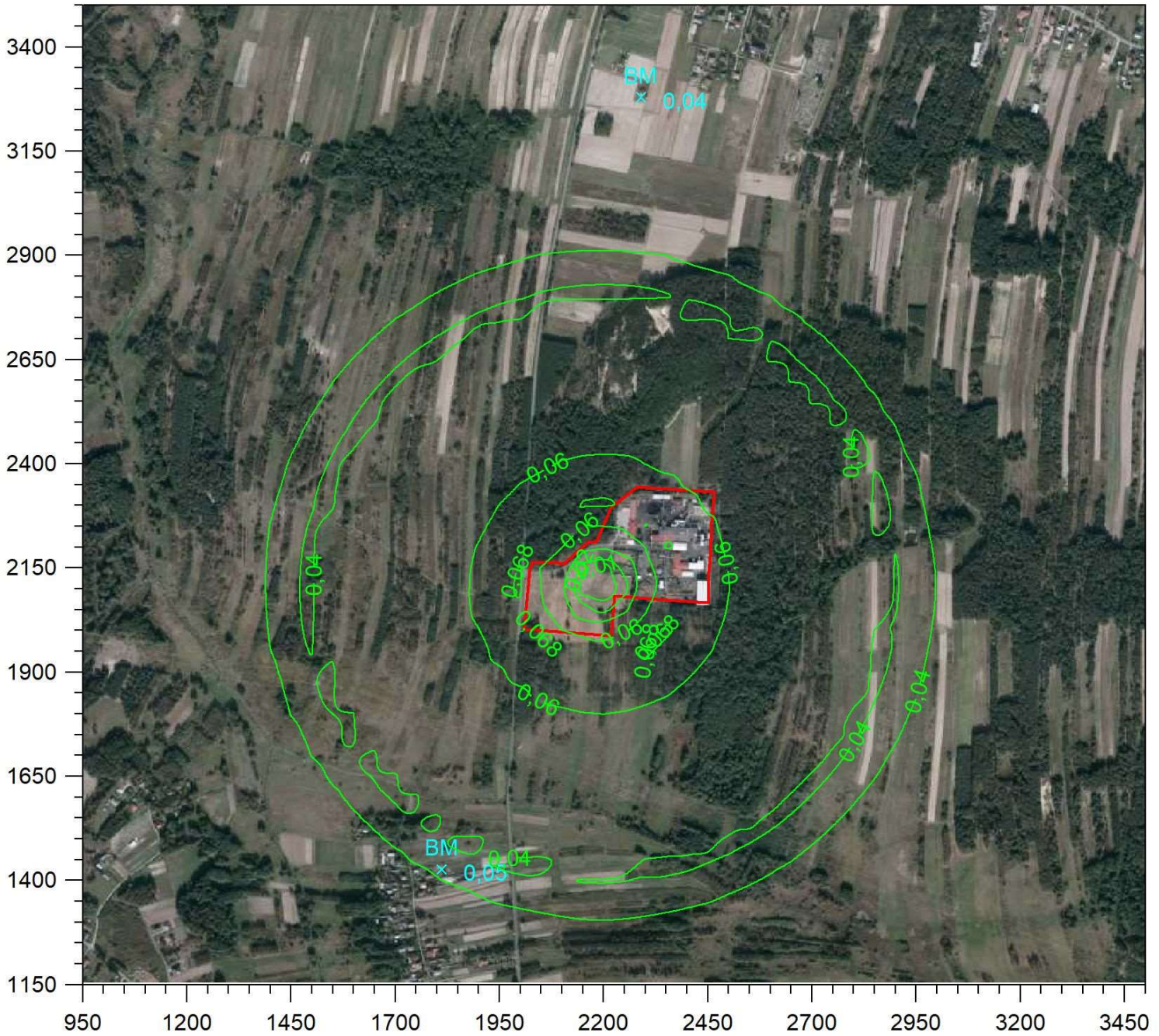
X

Izolinie stężeń maksymalnych miedzi $\mu\text{g}/\text{m}^3$

(dopuszcz. $20 \mu\text{g}/\text{m}^3$)



Y



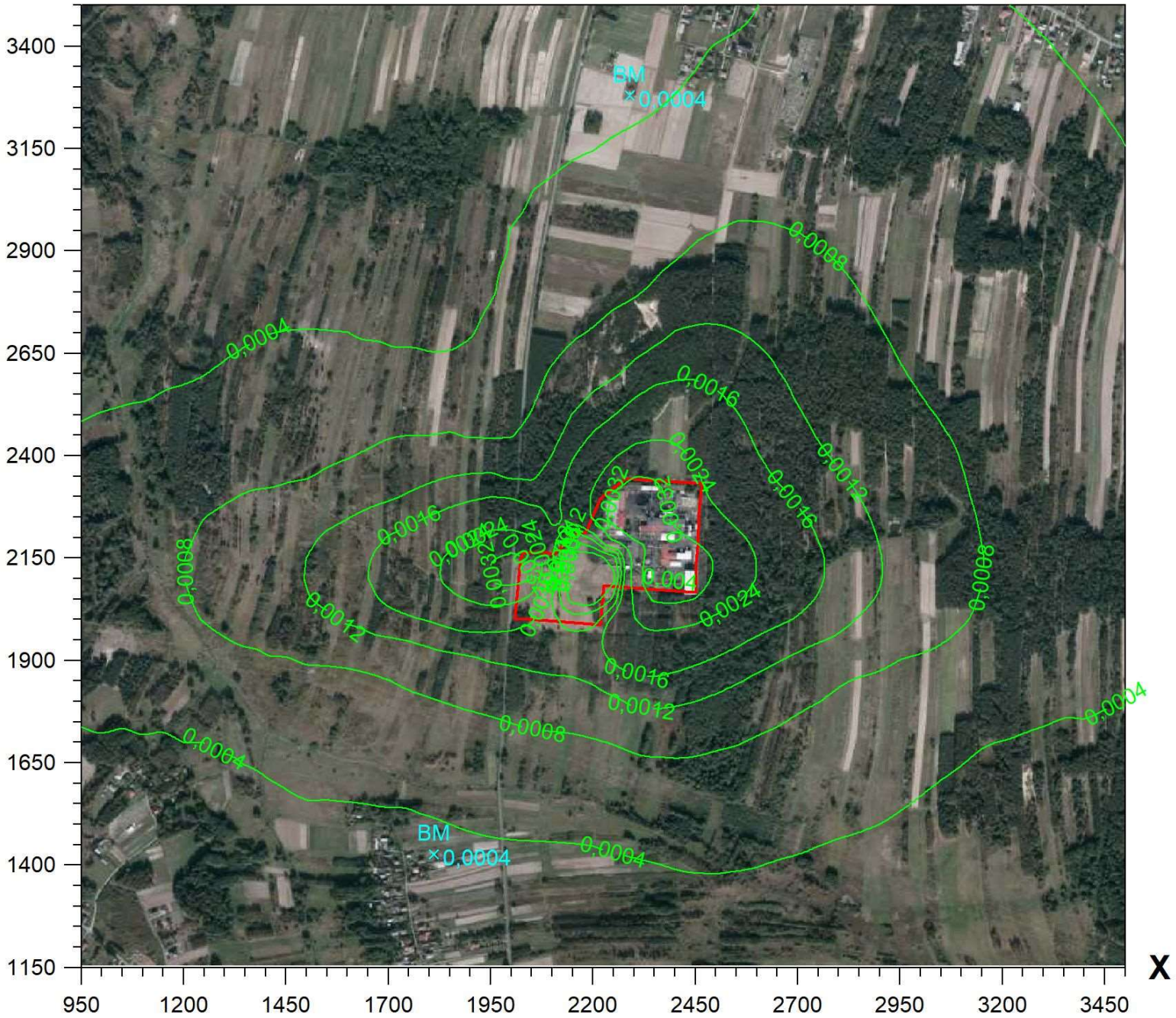
X

Izolinie stężeń średnich miedzi $\mu\text{g}/\text{m}^3$

(dyspoz. $0,54 \mu\text{g}/\text{m}^3$)



Y



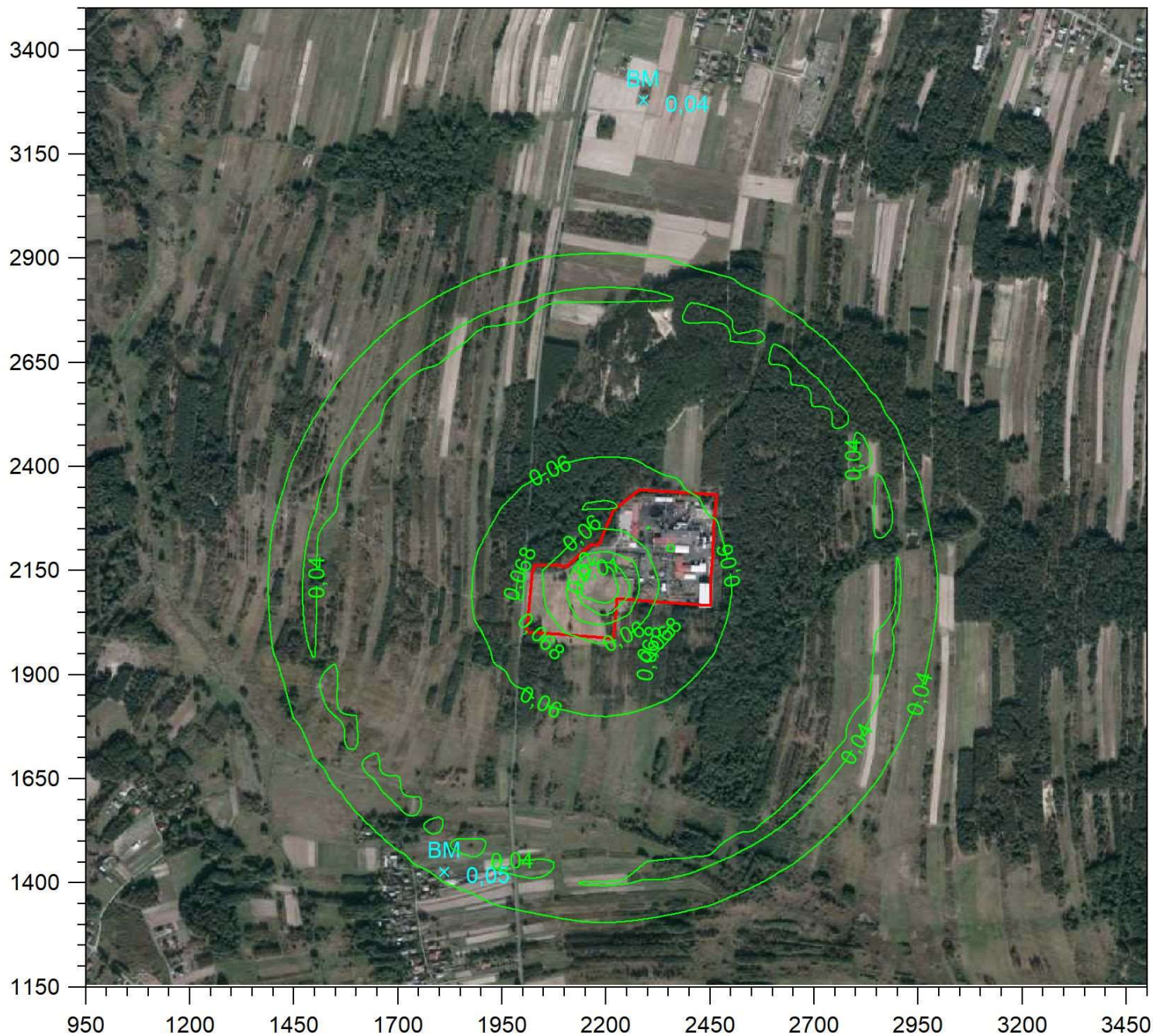
X

Izolinie stężeń maksymalnych niklu $\mu\text{g}/\text{m}^3$

(dopuszcz. $0,23 \mu\text{g}/\text{m}^3$)



Y

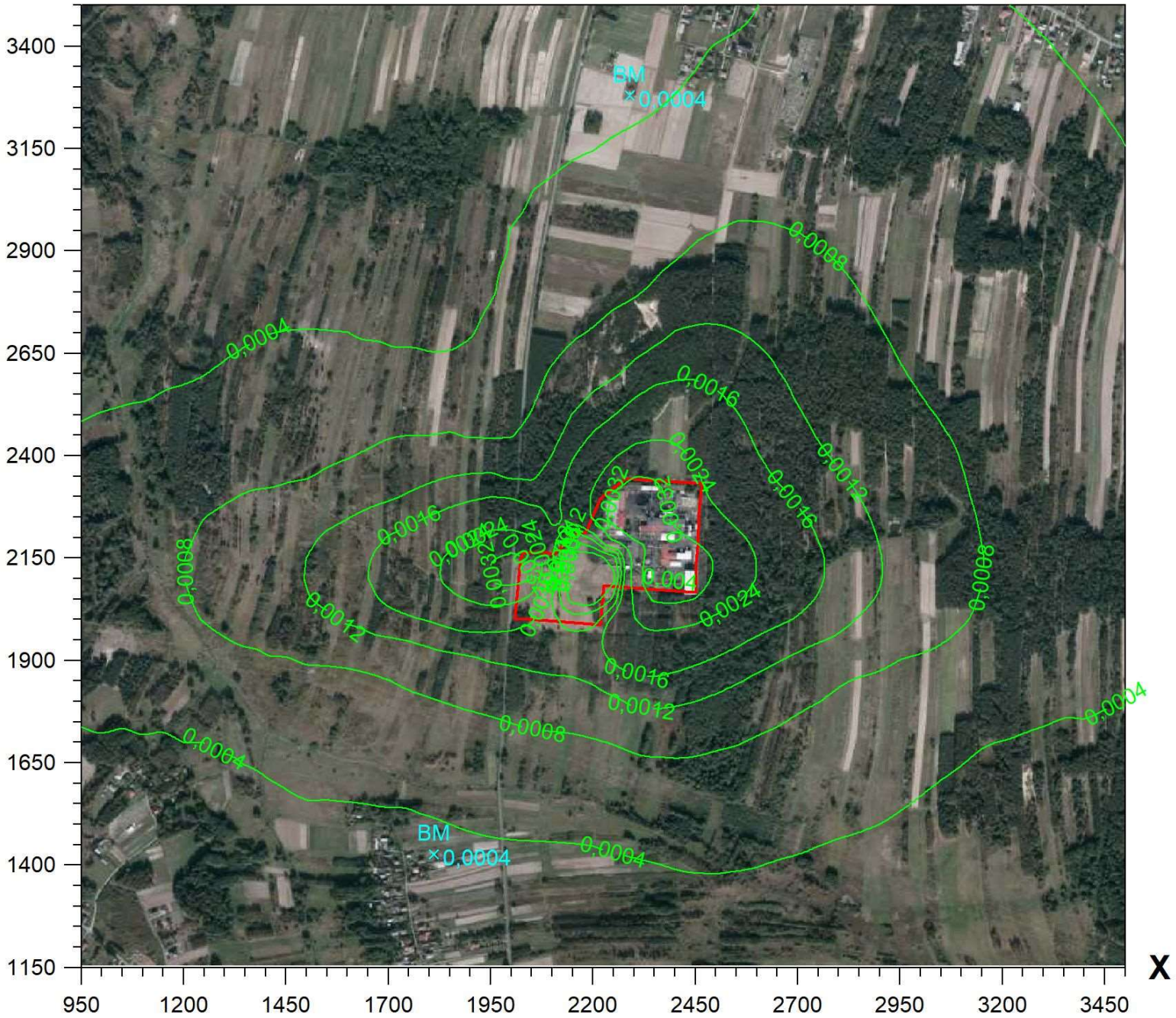


Izoliny stężeń średnich niklu $\mu\text{g}/\text{m}^3$

(dyspoz. $0,018 \mu\text{g}/\text{m}^3$)



Y

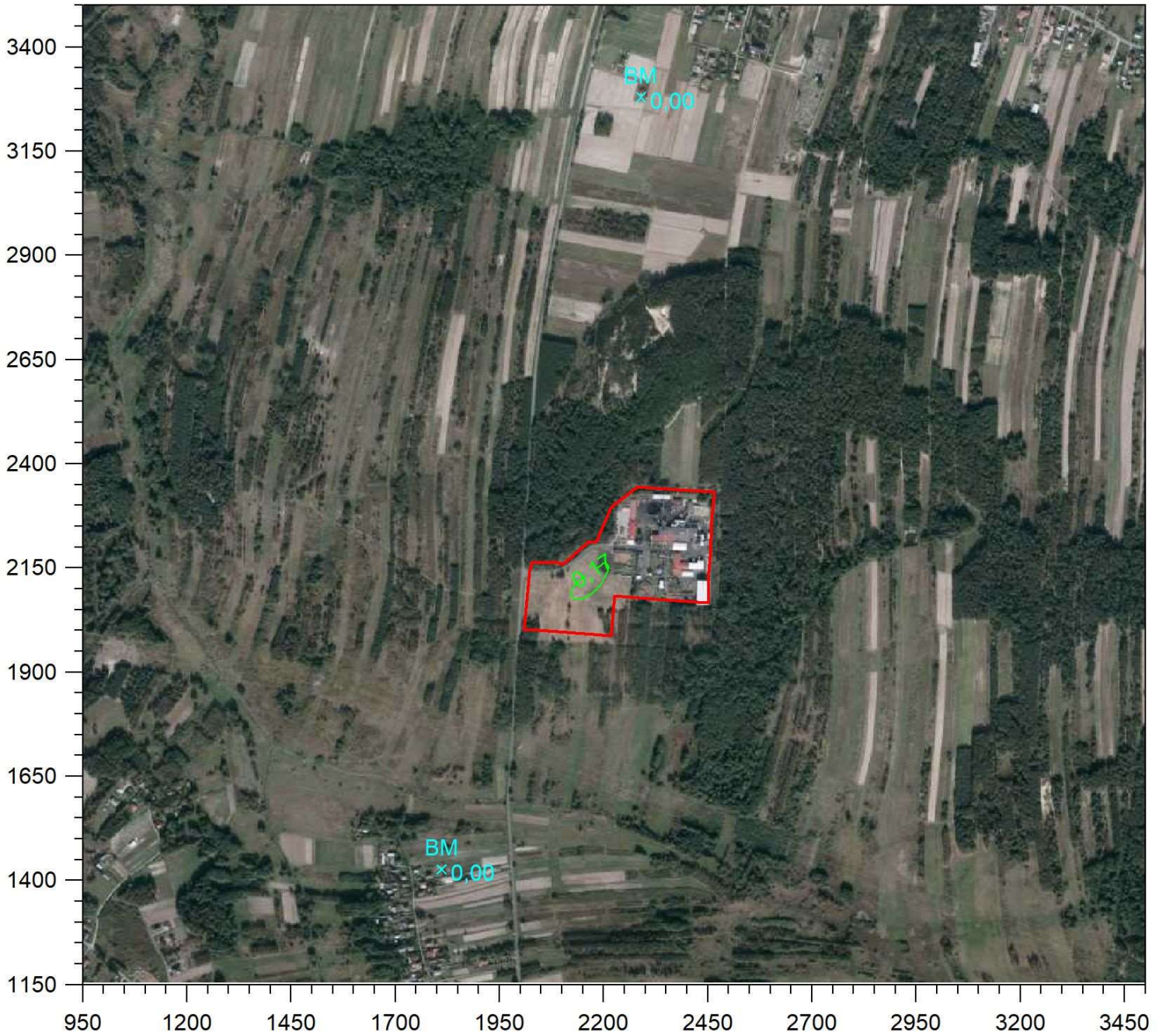


Izolinie częstości przekroczeń stężeń jednogodzinnych $200 \mu\text{g}/\text{m}^3$

tlenków azotu, % (dopuszcz. 0,2 %)



Y



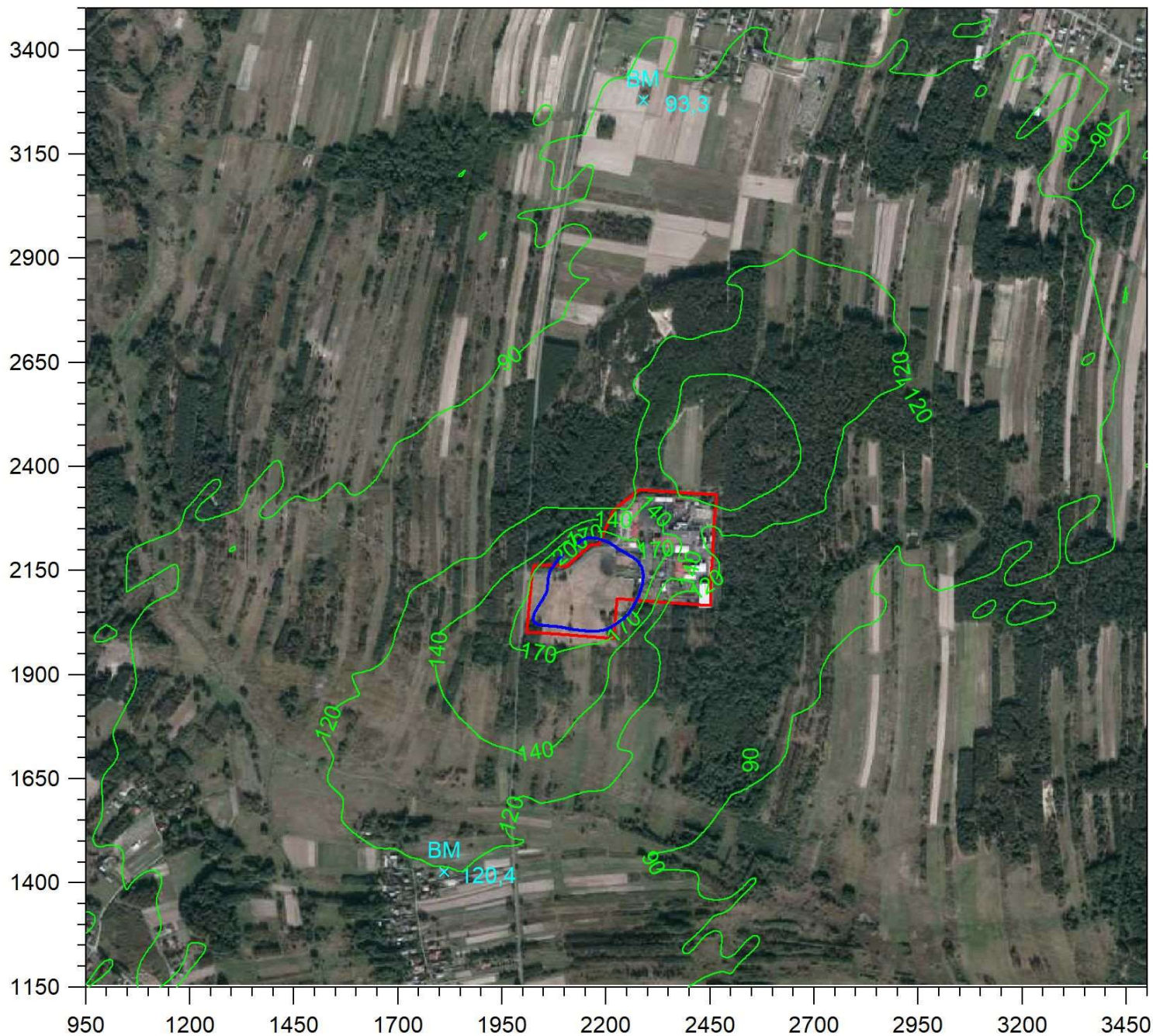
X

Izolinie stężeń maksymalnych tlenków azotu $\mu\text{g}/\text{m}^3$

(dopuszcz. $200 \mu\text{g}/\text{m}^3$)



Y

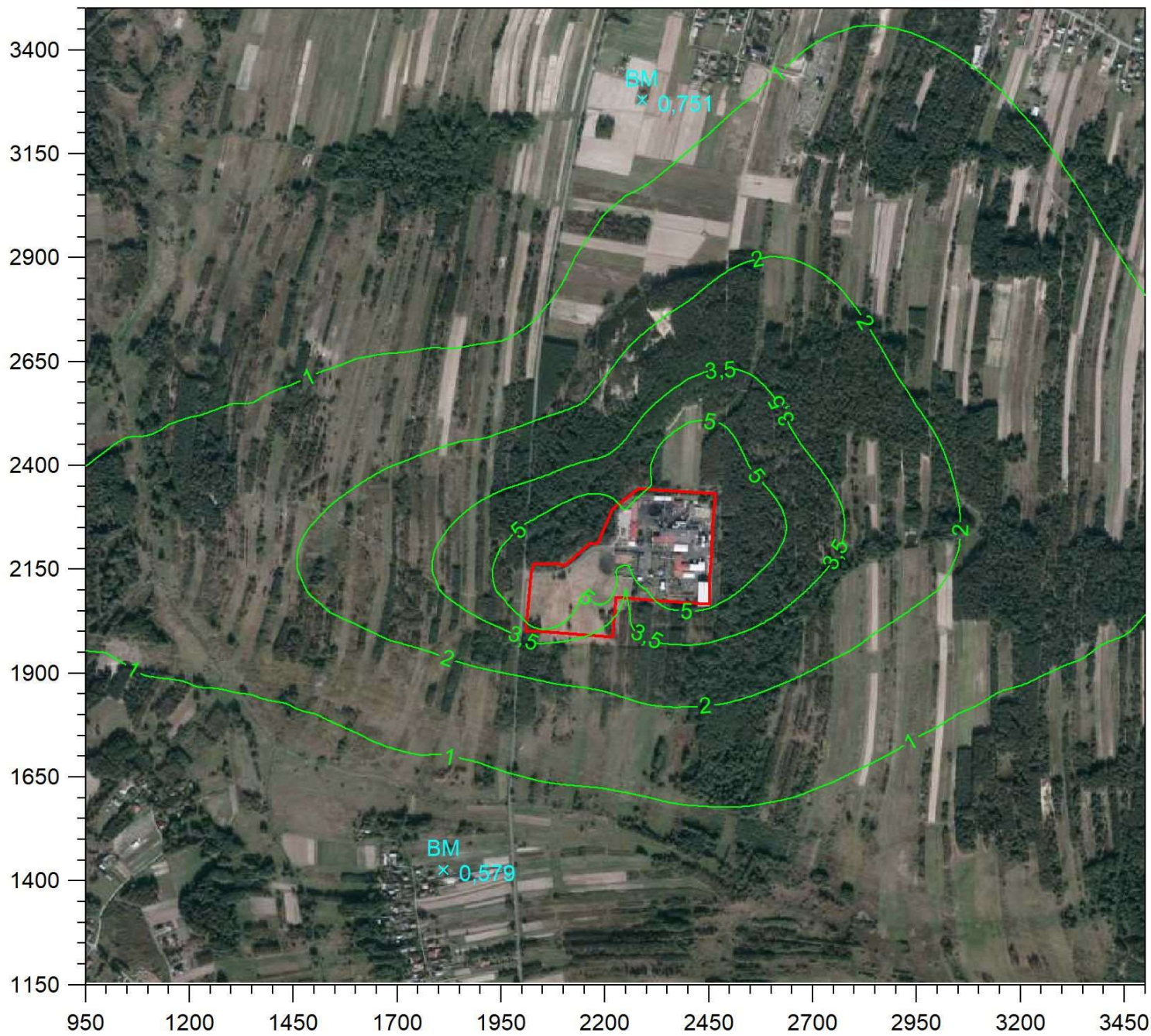


Izolinie stężeń średnich tlenków azotu $\mu\text{g}/\text{m}^3$

(dyspoz. $29 \mu\text{g}/\text{m}^3$)



Y



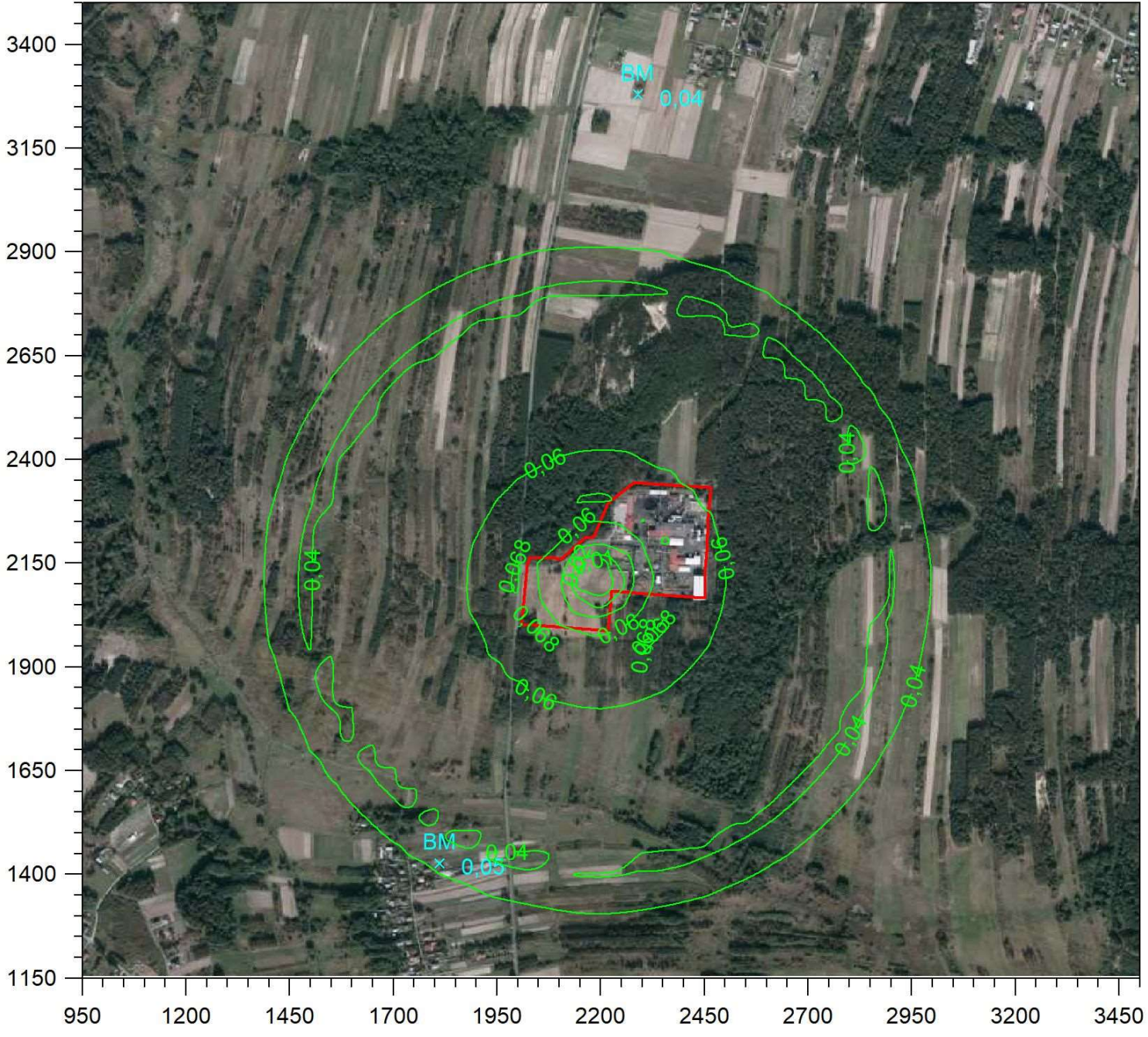
X

Izolinie stężeń maksymalnych ołowiu $\mu\text{g}/\text{m}^3$

(dopuszcz. $5 \mu\text{g}/\text{m}^3$)



Y



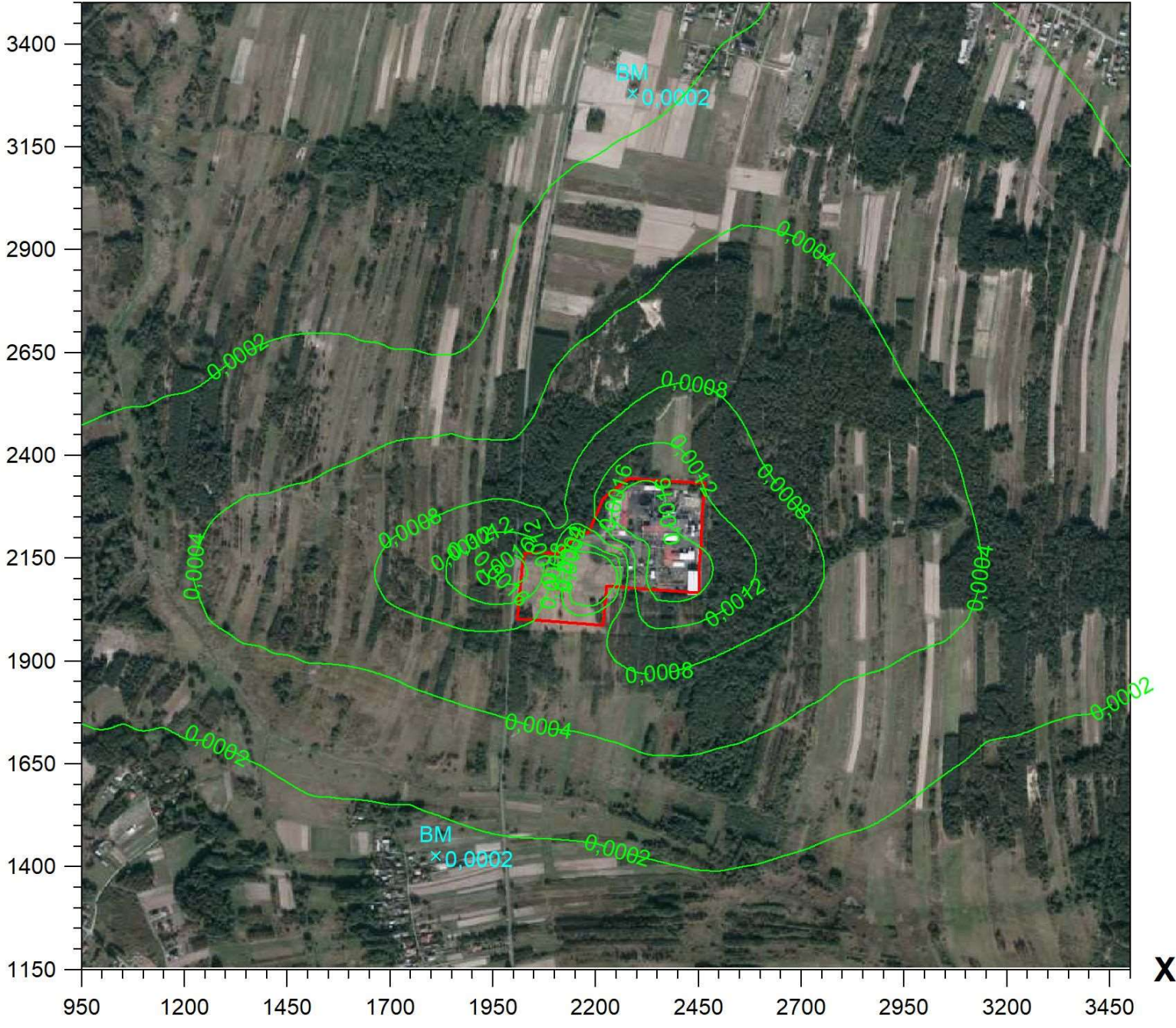
X

Izolinie stężeń średnich ołowiu $\mu\text{g}/\text{m}^3$

(dyspoz. $0,49 \mu\text{g}/\text{m}^3$)



Y



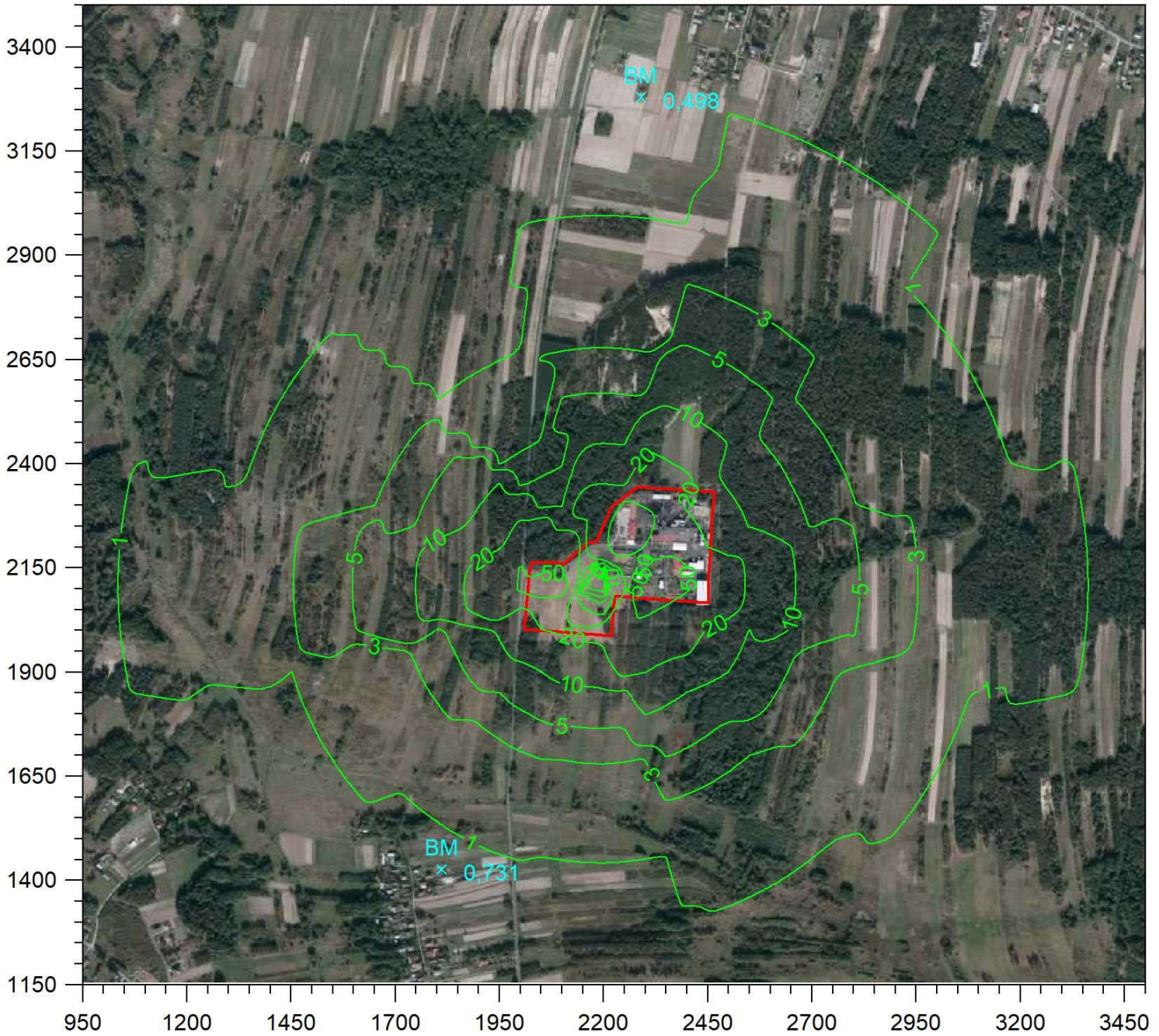
X

Opad ołowiu $\text{mg}/\text{m}^2/\text{rok}$

(dyspoz. $90 \text{ mg}/\text{m}^2/\text{rok}$)



Y



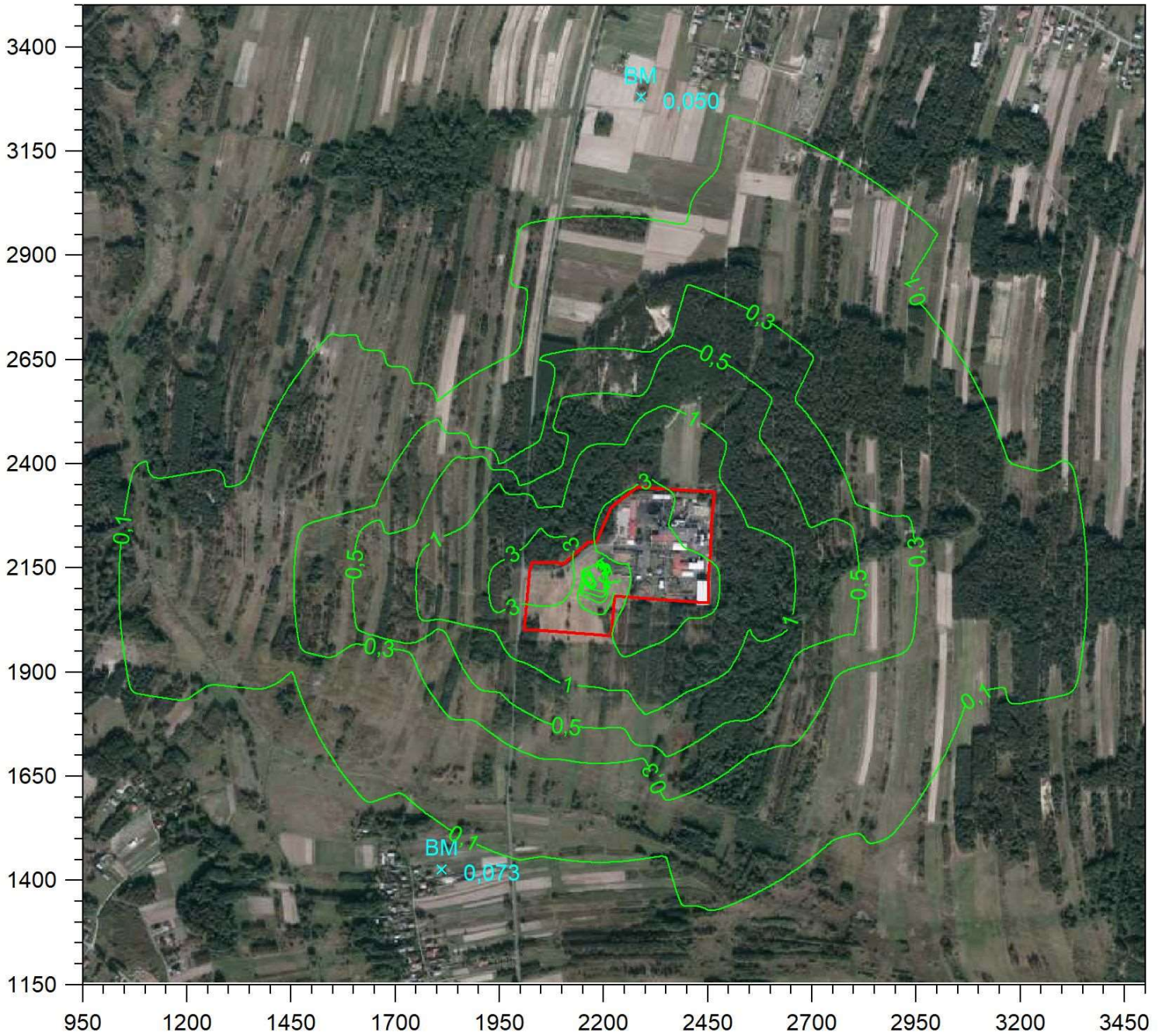
X

Opad kadmu $\text{mg}/\text{m}^2/\text{rok}$

(dyspoz. $9 \text{ mg}/\text{m}^2/\text{rok}$)



Y



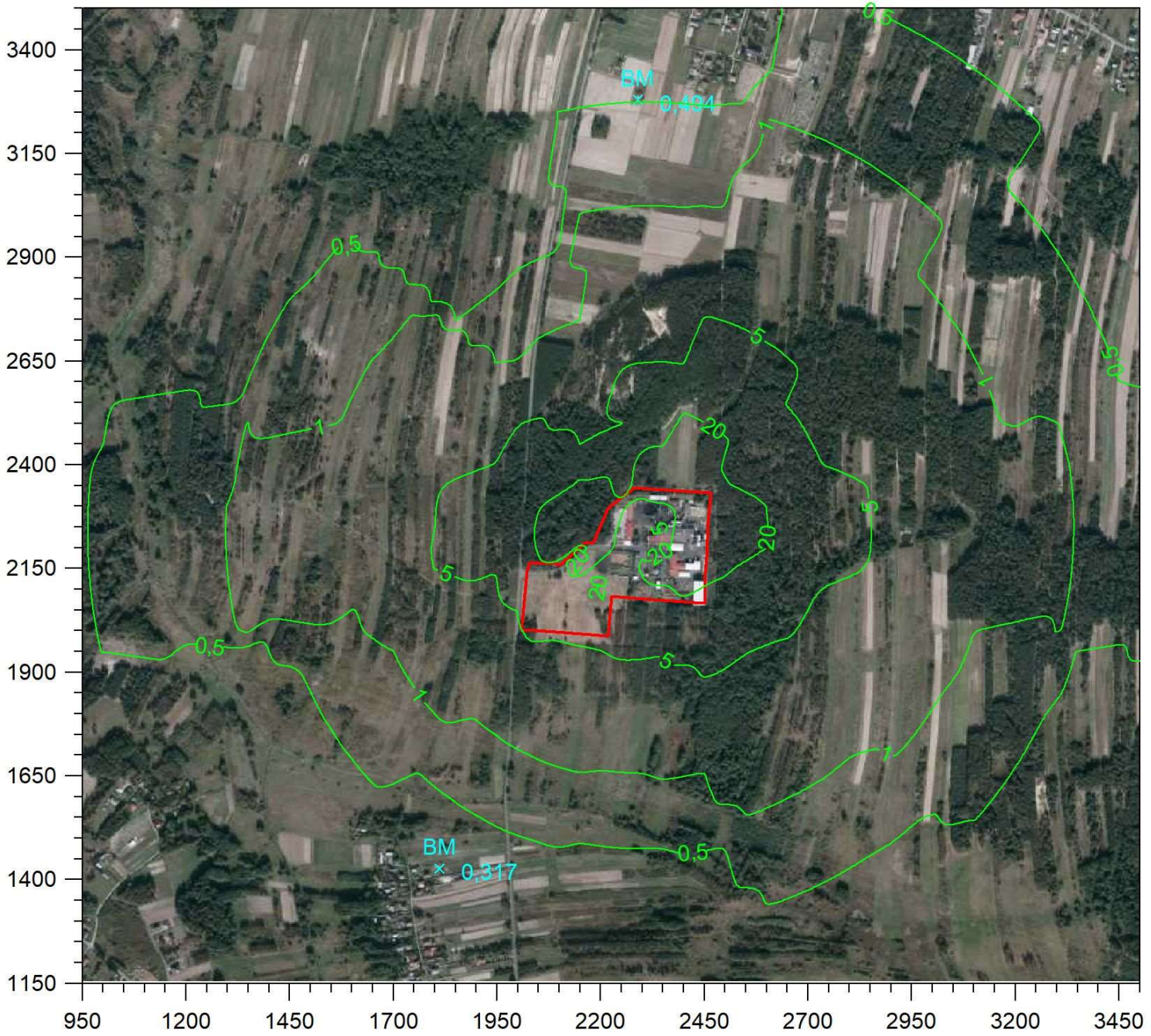
X

Opad pyłu g/m²/rok

(dyspoz. 180 g/m²/rok)

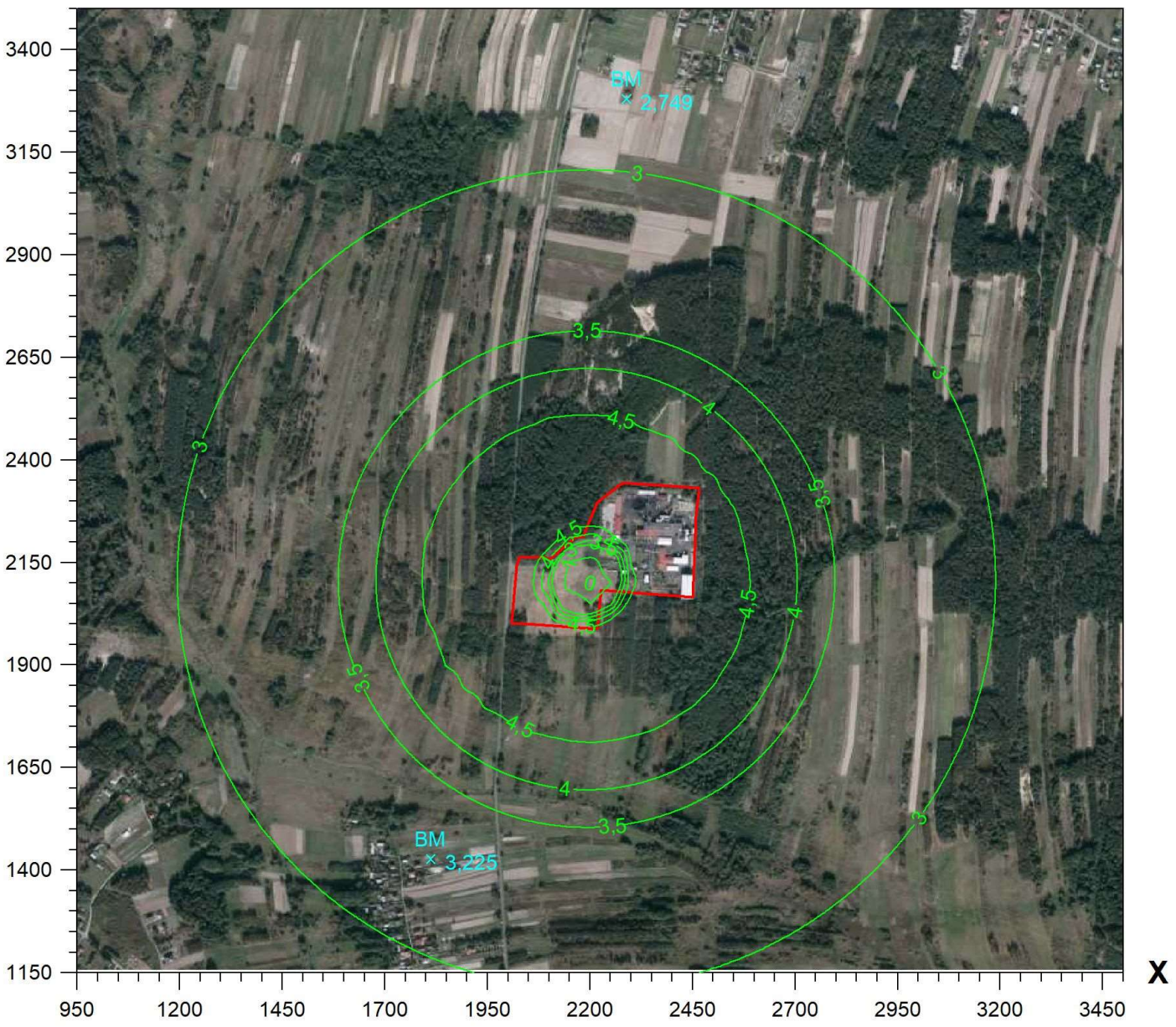


Y

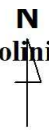


X

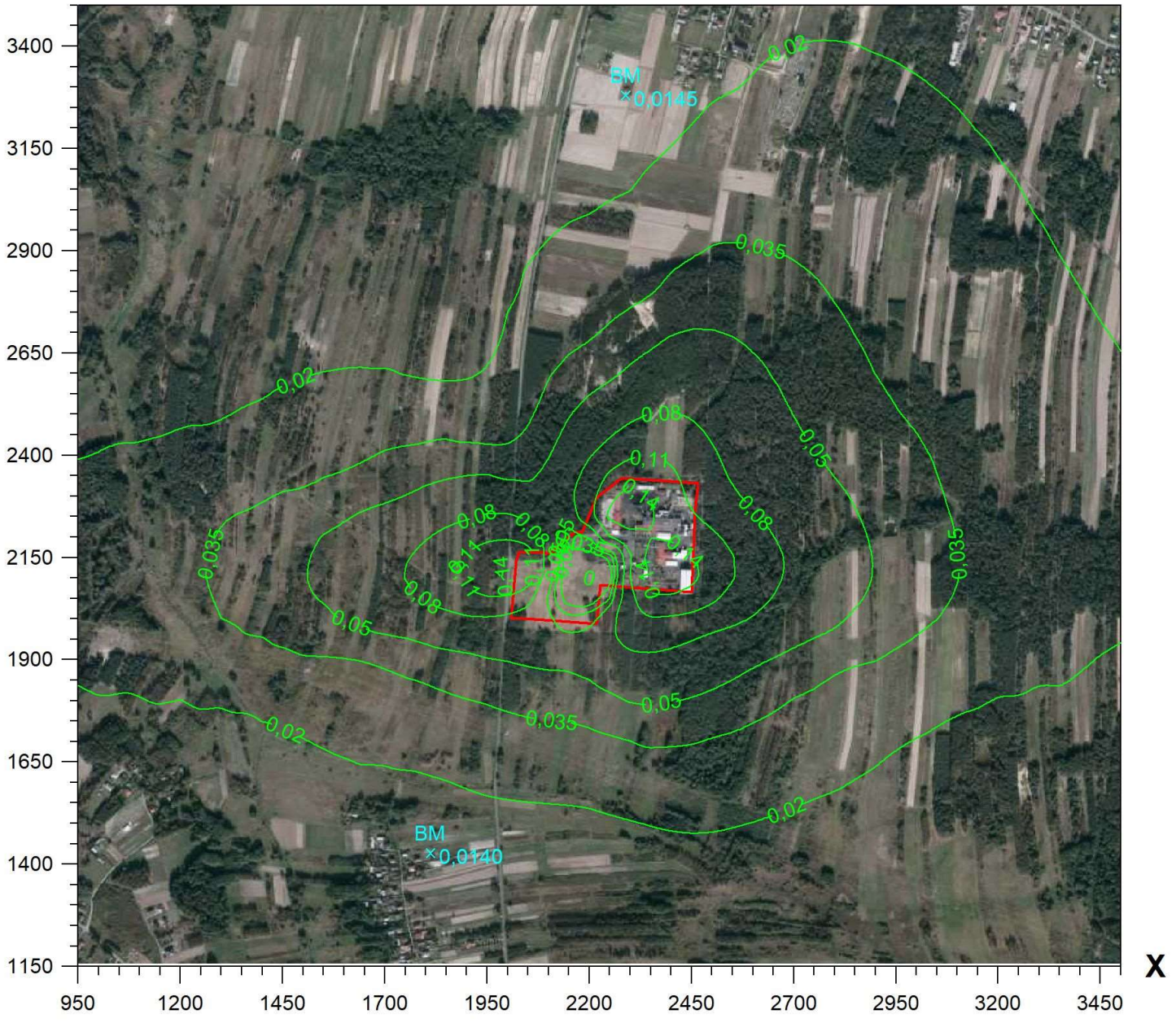
N
Izoliny stężeń maksymalnych substancji organicznych w postaci gazów i par wyrażonych jako całkowity węgiel organiczny $\mu\text{g}/\text{m}^3$
Y



Izolinie stężeń średnich substancji organicznych w postaci gazów i par wyrażonych jako całkowity węgiel organiczny $\mu\text{g}/\text{m}^3$



Y

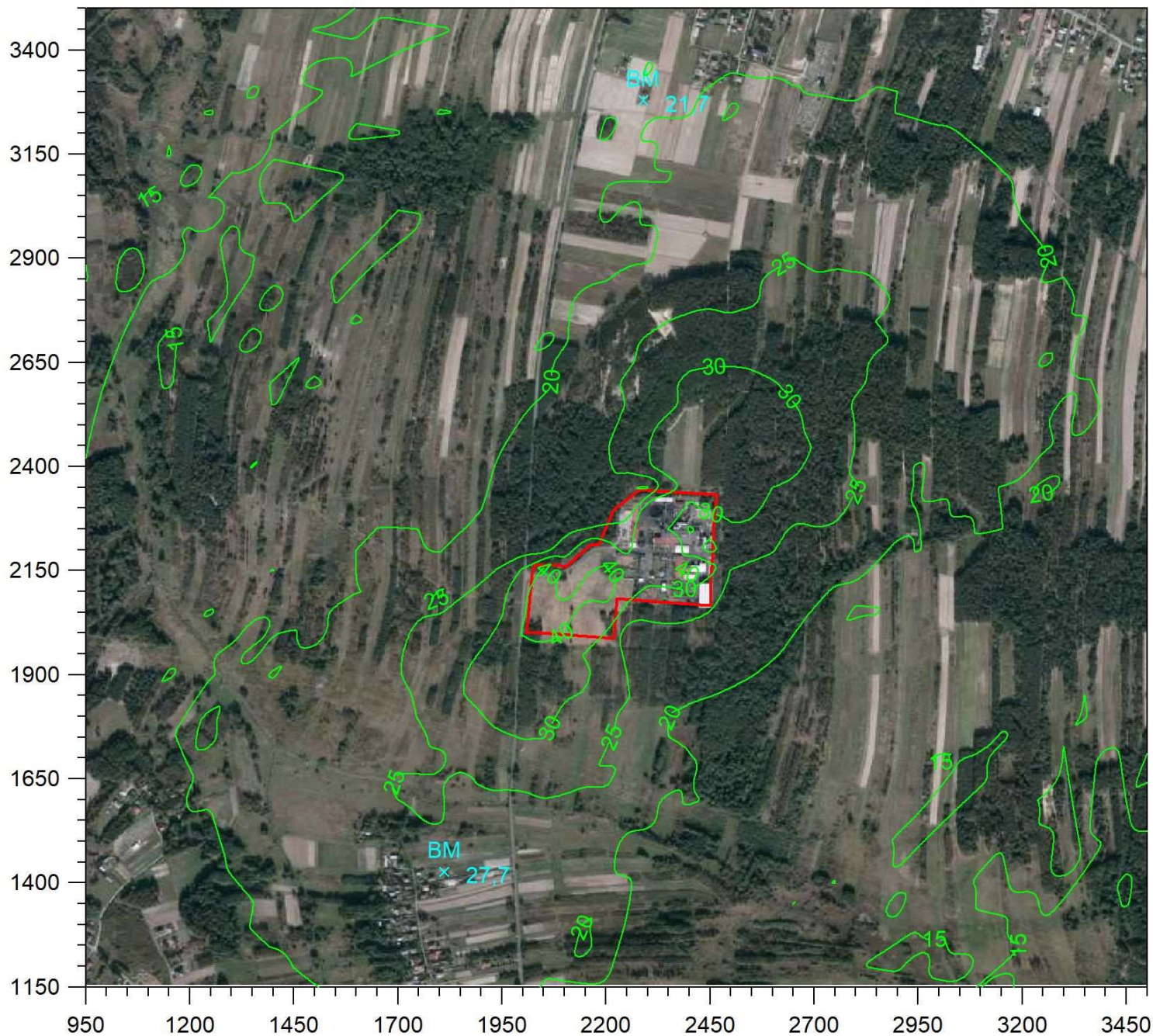


Izolinie stężeń maksymalnych pyłu PM-10 $\mu\text{g}/\text{m}^3$

(dopuszcz. $280 \mu\text{g}/\text{m}^3$)



Y



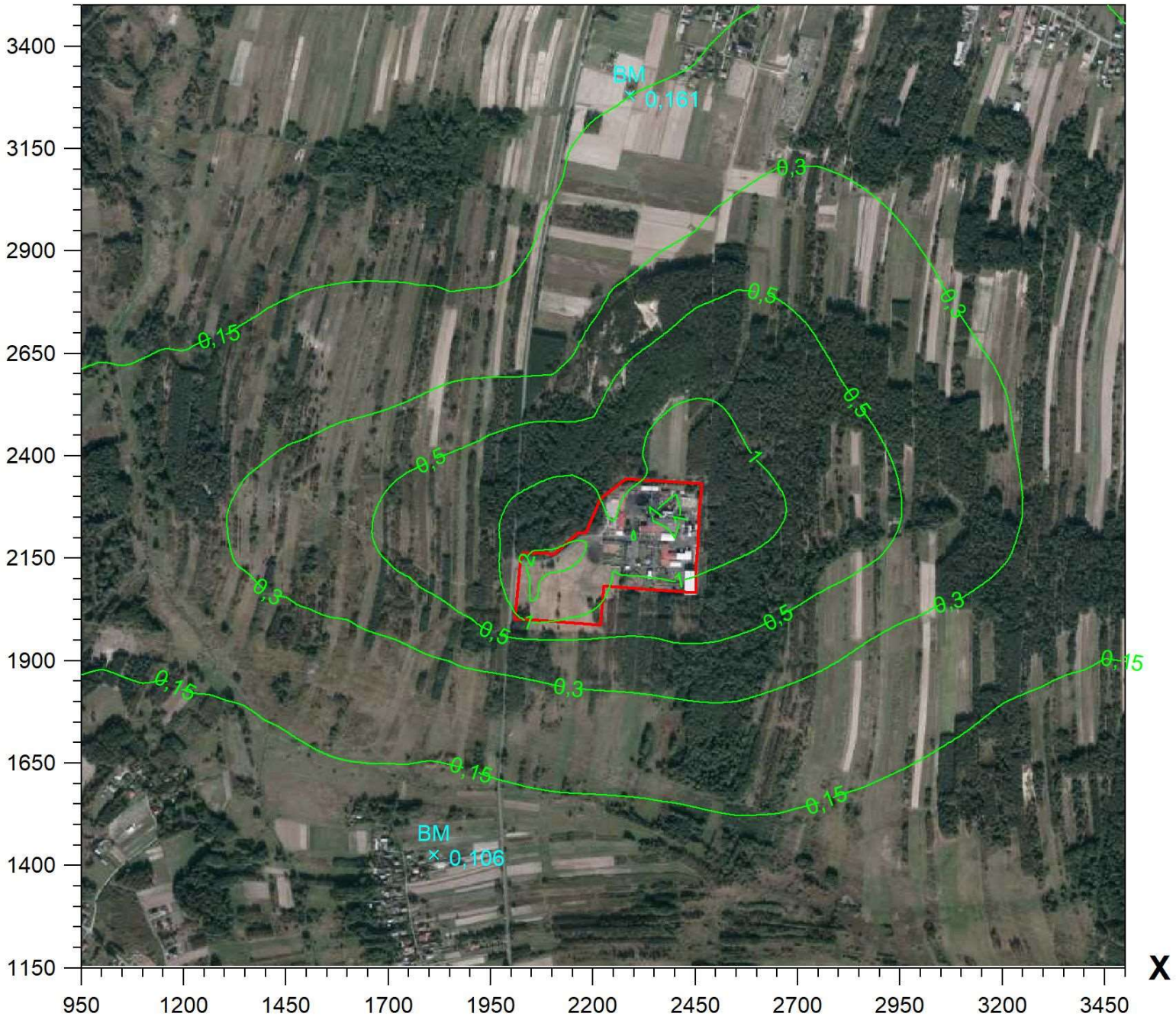
X

Izolinie stężeń średnich pyłu PM-10 $\mu\text{g}/\text{m}^3$

(dyspoz. $22 \mu\text{g}/\text{m}^3$)



Y

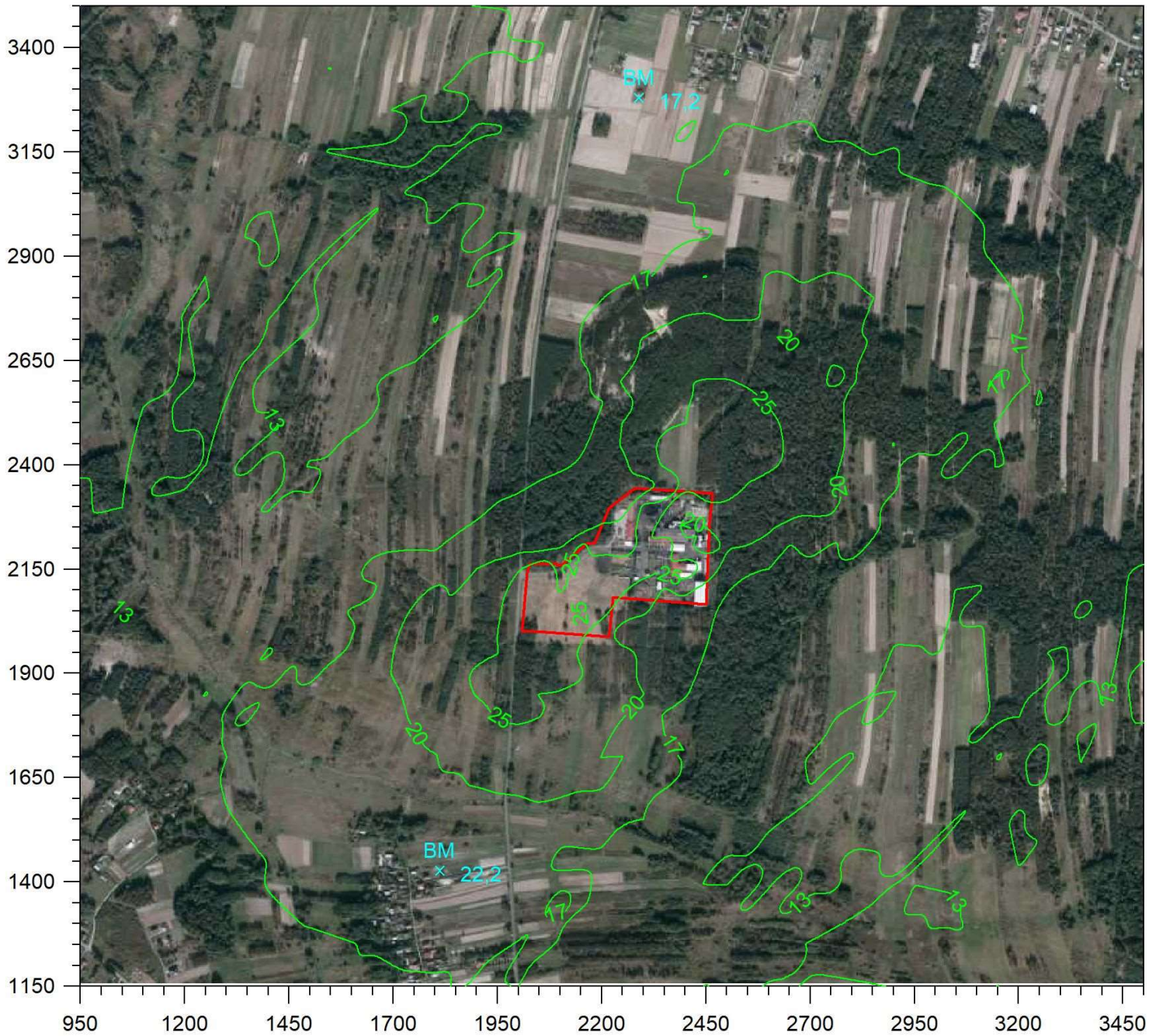


X



Izolinie stężeń maksymalnych pyłu zawieszonego PM 2,5 $\mu\text{g}/\text{m}^3$

Y



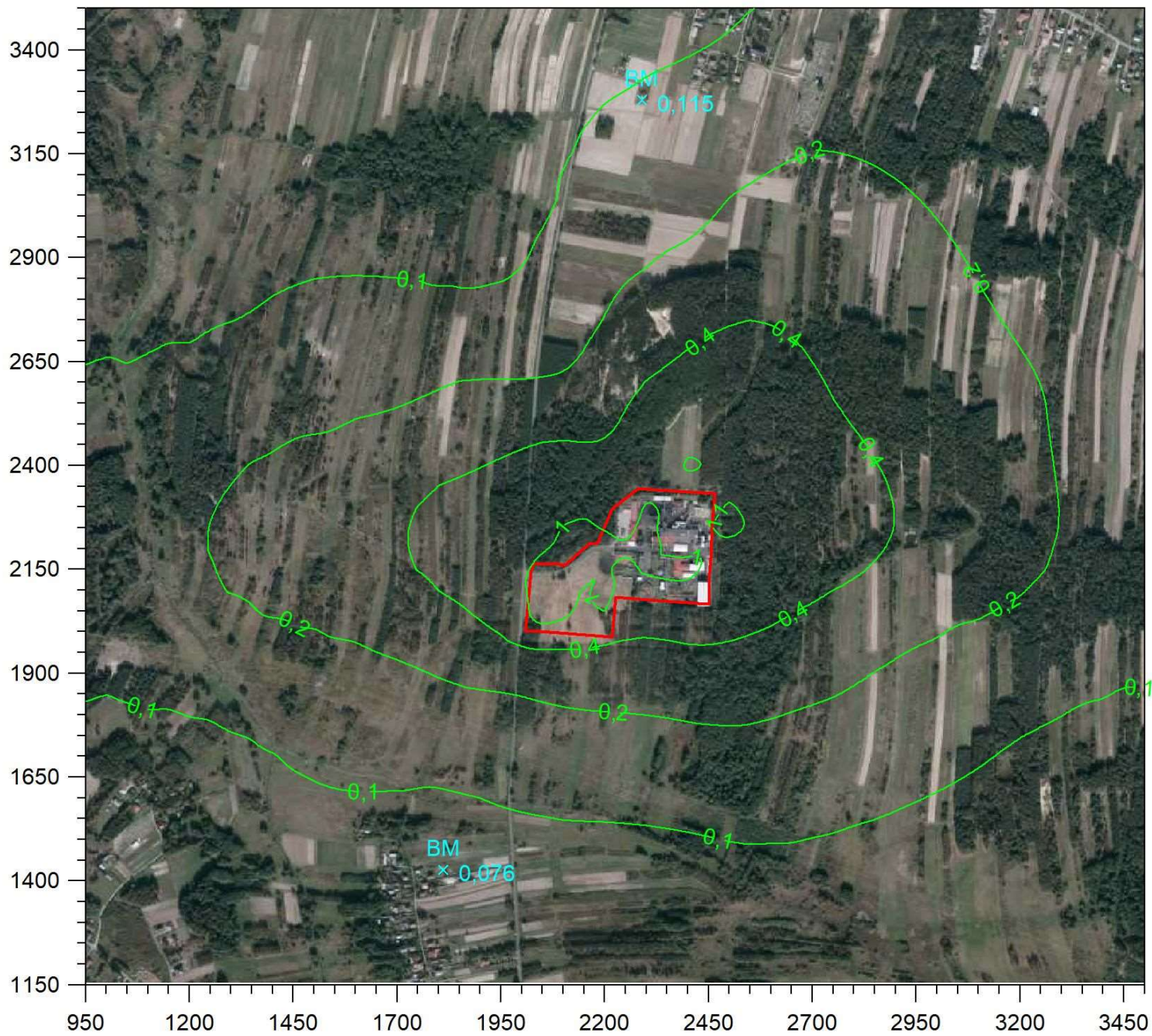
X

Izolinie stężeń średnich pyłu zawieszonego PM_{2,5} µg/m³

(dyspoz. 10,6 µg/m³)



Y

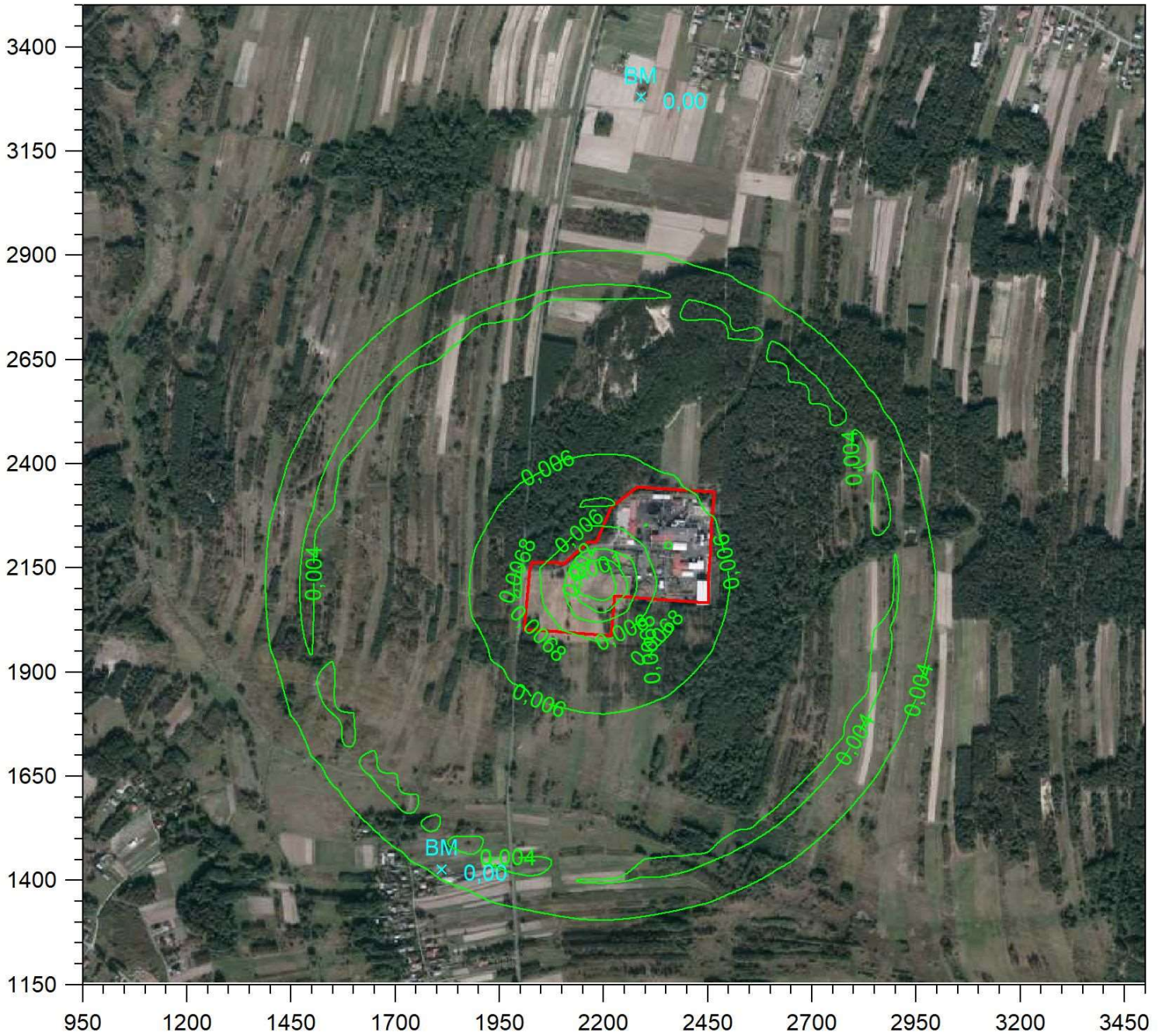


Izolinie stężeń maksymalnych rtęci $\mu\text{g}/\text{m}^3$

(dopuszcz. $0,7 \mu\text{g}/\text{m}^3$)



Y



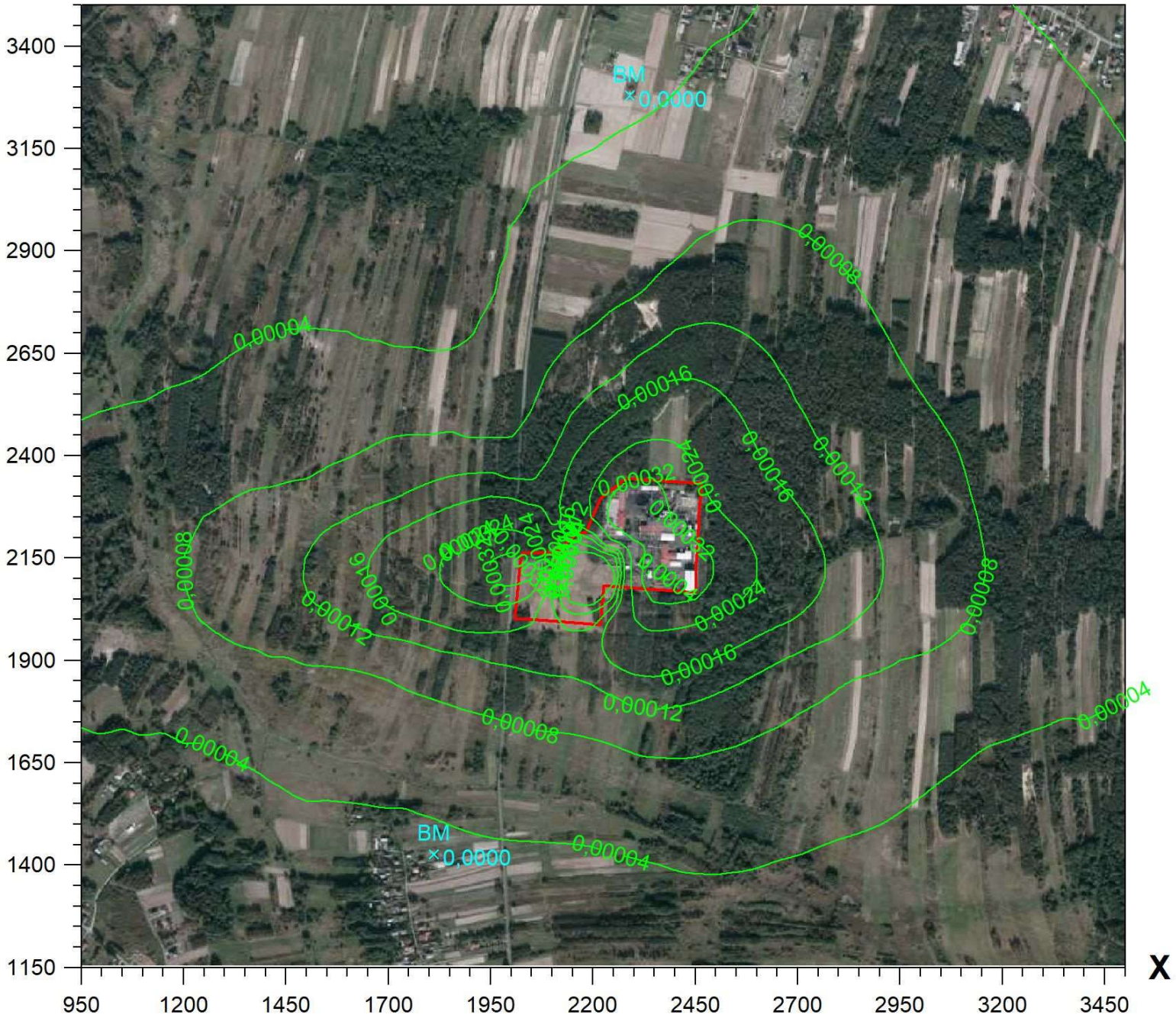
X

Izolinie stężeń średnich rtęci $\mu\text{g}/\text{m}^3$

(dyspoz. $0,036 \mu\text{g}/\text{m}^3$)



Y



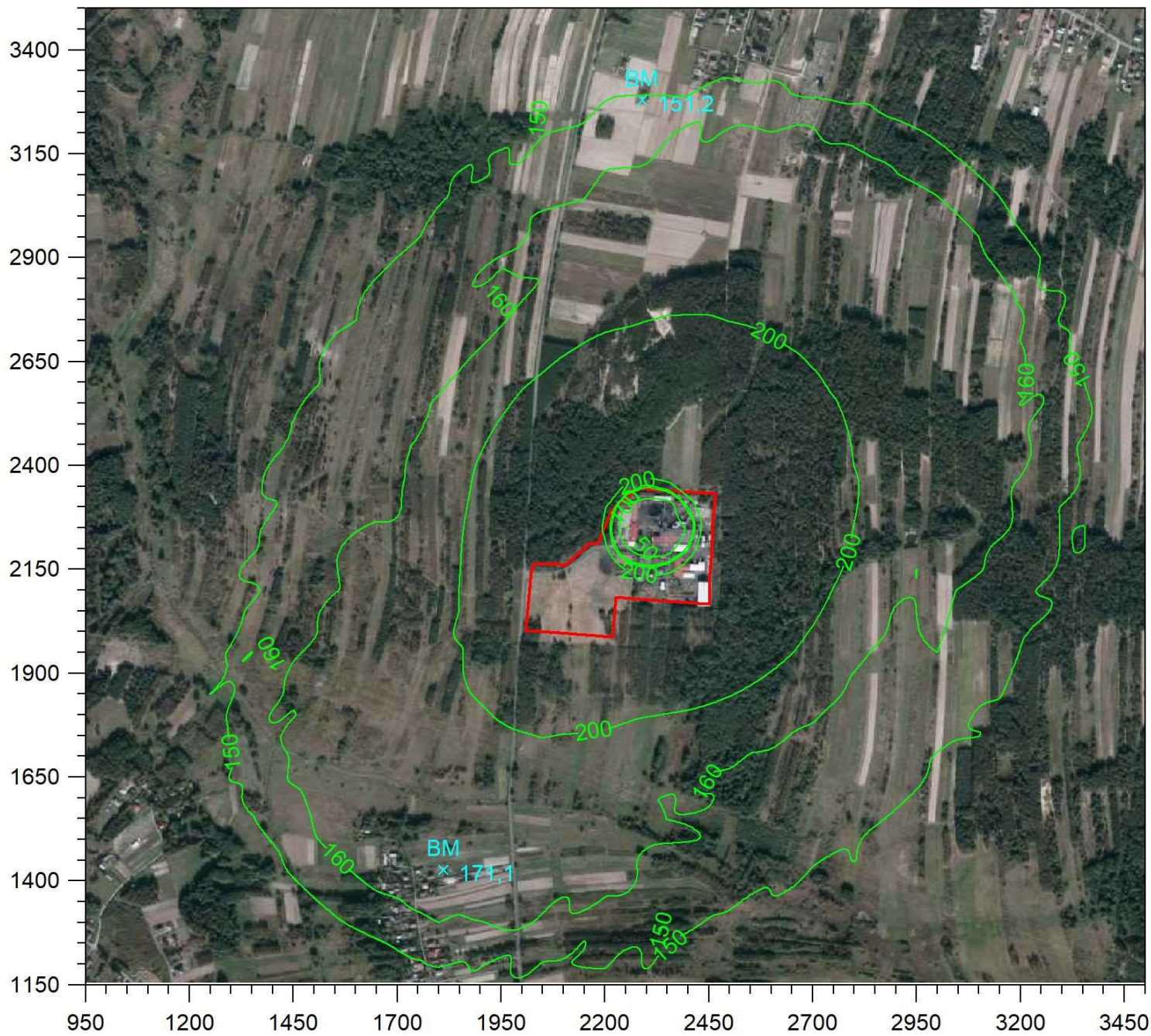
X

Izolinie stężeń maksymalnych dwutlenku siarki $\mu\text{g}/\text{m}^3$

(dopuszcz. $350 \mu\text{g}/\text{m}^3$)



Y



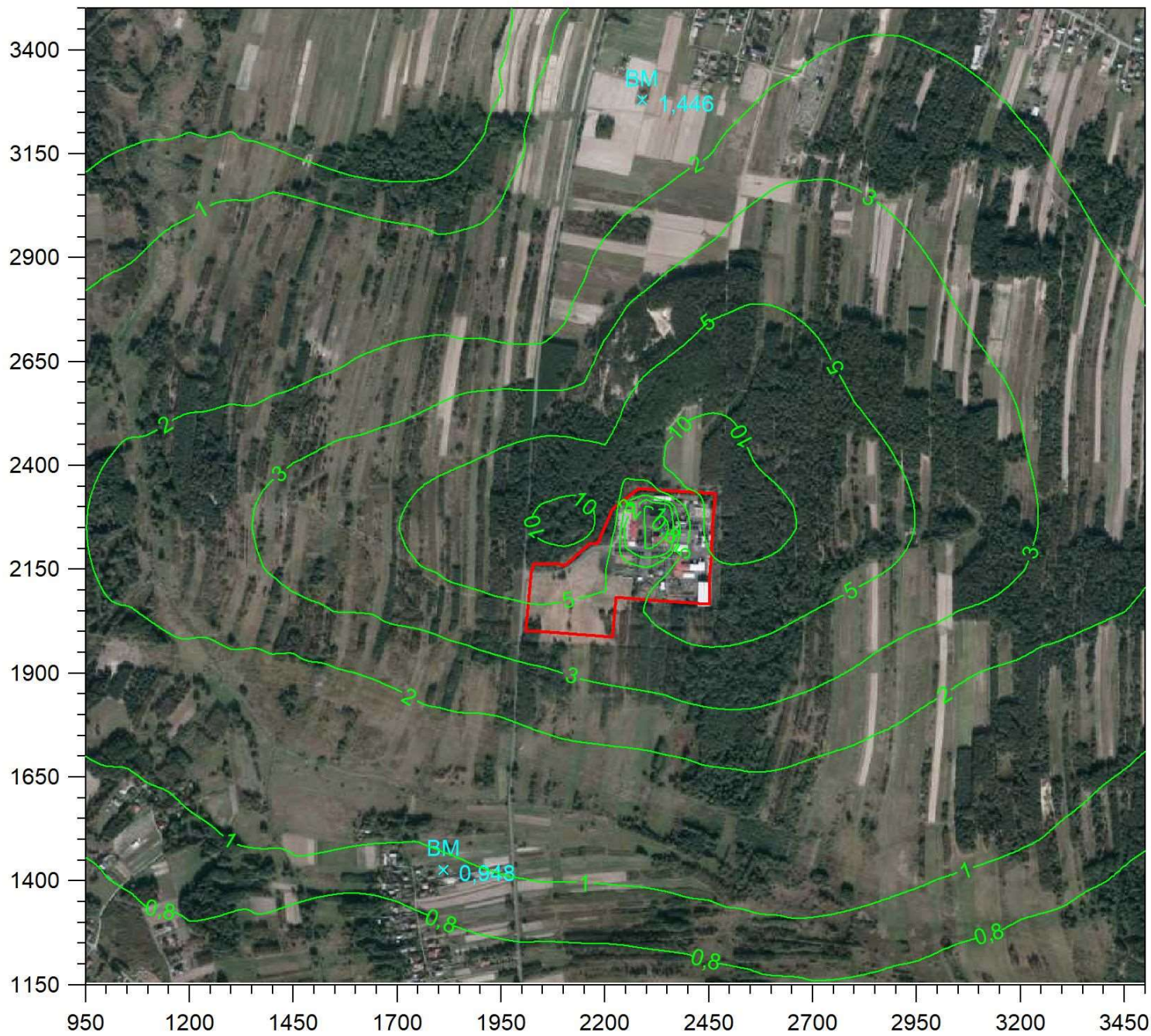
X

Izolinie stężeń średnich dwutlenku siarki $\mu\text{g}/\text{m}^3$

(dyspoz. $15,5 \mu\text{g}/\text{m}^3$)



Y



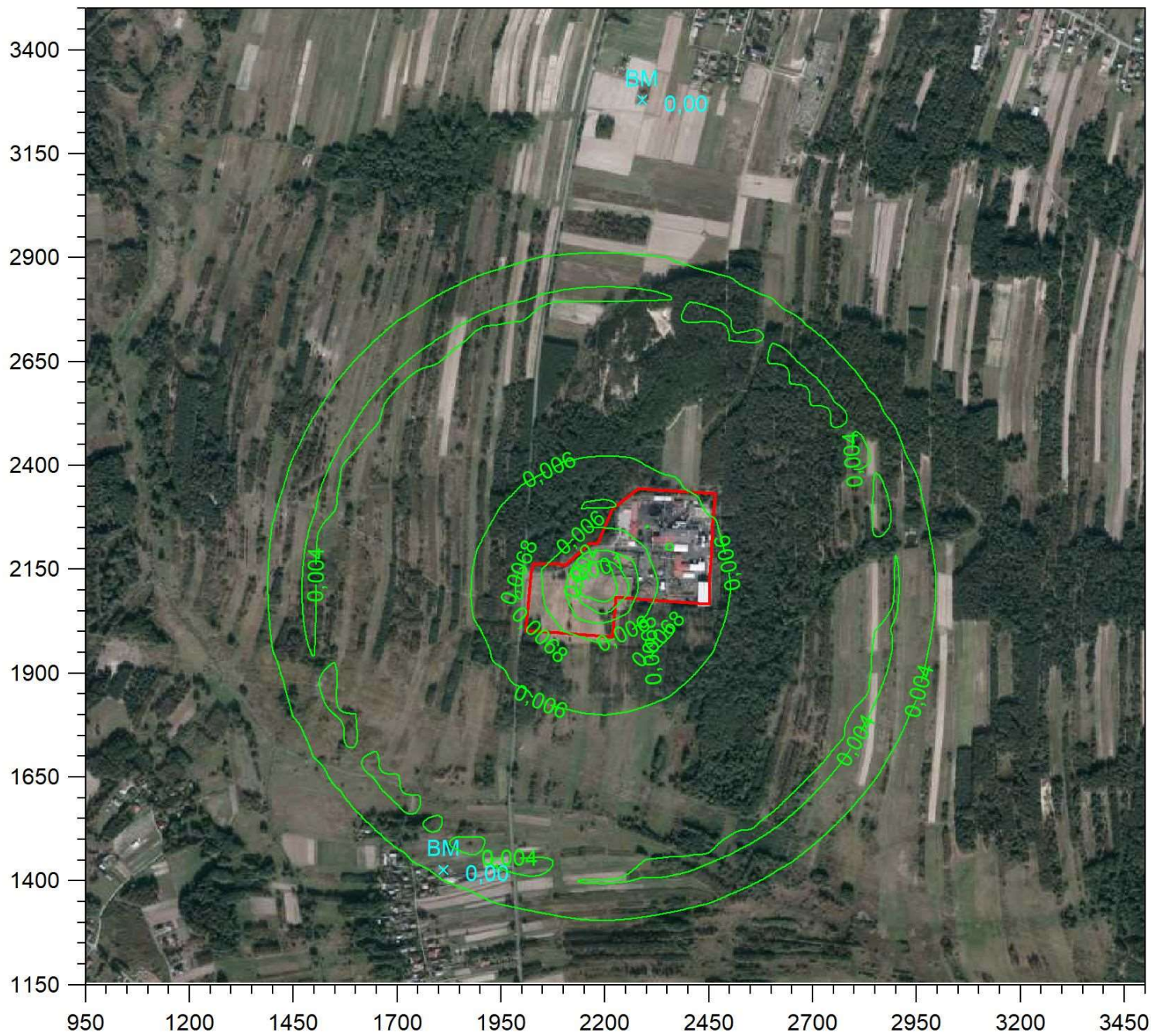
X

Izolinie stężeń maksymalnych talu $\mu\text{g}/\text{m}^3$

(dopuszcz. $1 \mu\text{g}/\text{m}^3$)



Y



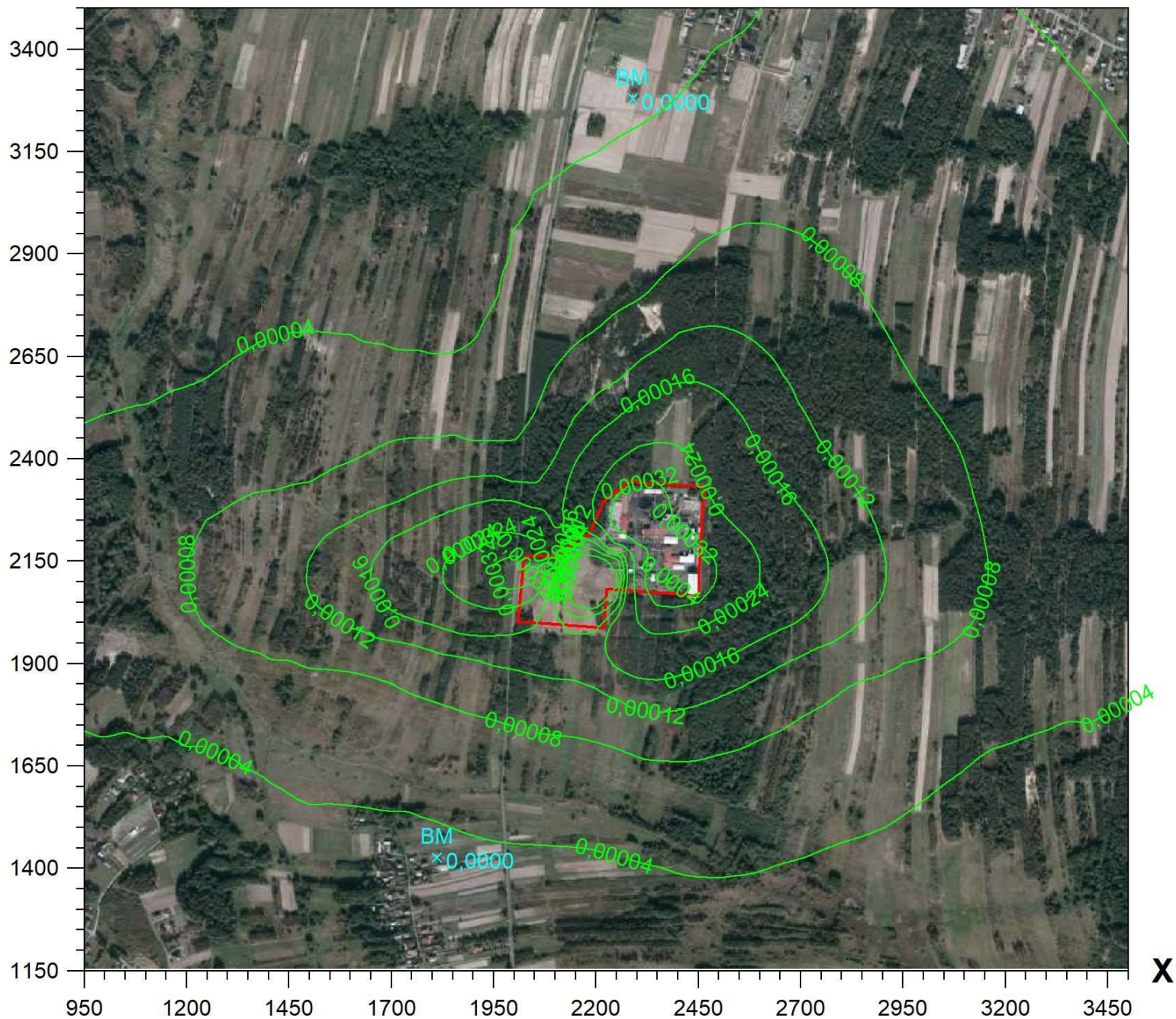
X

Izolinie stężeń średnich talu $\mu\text{g}/\text{m}^3$

(dyspoz. $0,117 \mu\text{g}/\text{m}^3$)



Y

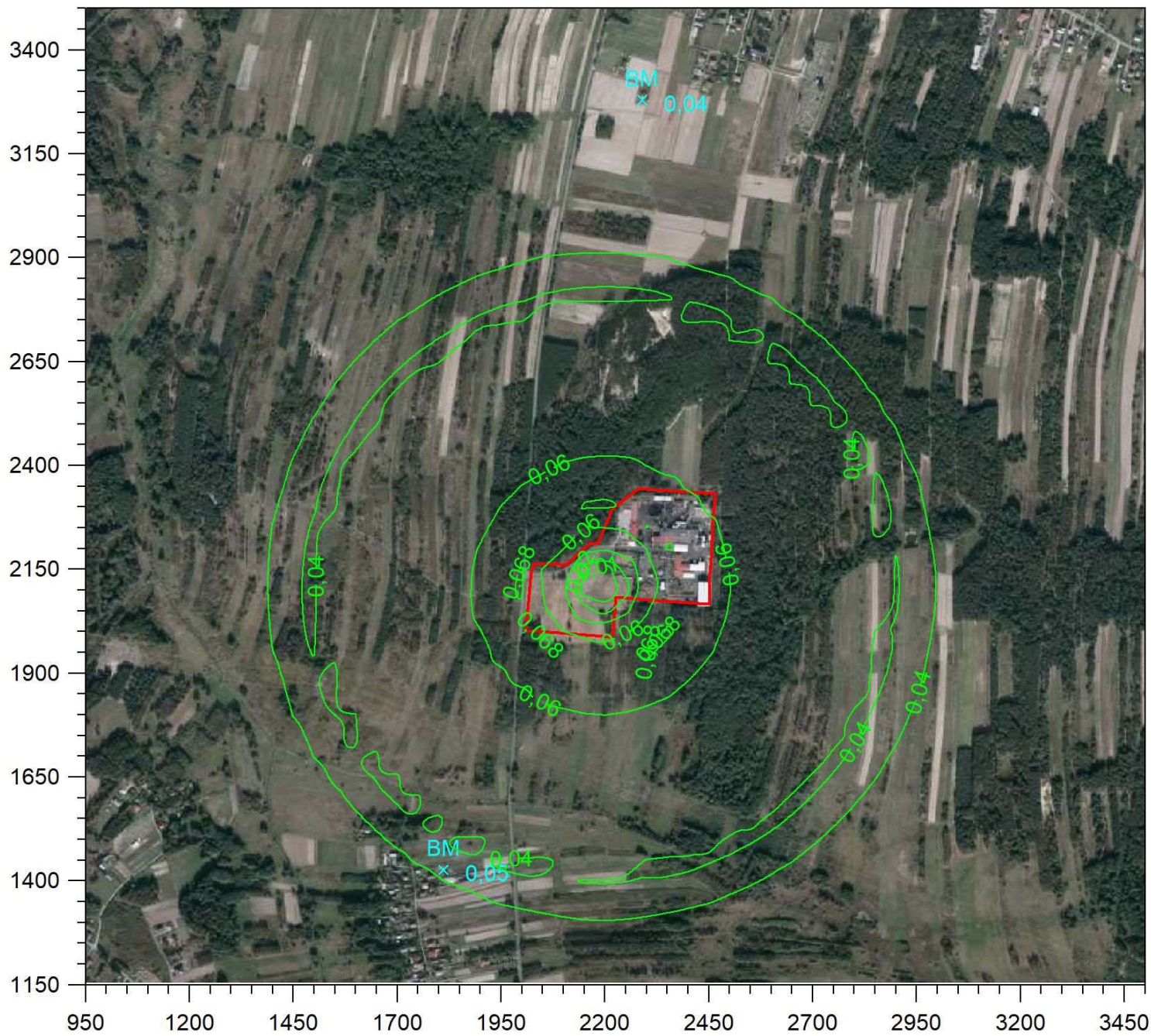


Izolinie stężeń maksymalnych wanadu $\mu\text{g}/\text{m}^3$

(dopuszcz. $2,3 \mu\text{g}/\text{m}^3$)



Y



X

Izolinie stężeń średnich wanadu $\mu\text{g}/\text{m}^3$

(dyspoz. $0,225 \mu\text{g}/\text{m}^3$)



Y

